

El ciclo de materia bariónica en las galaxias

Alfredo J. Mejía

13 de septiembre de 2017

MOTIVACIÓN



MOTIVACIÓN



—> GALAXIA TEMPRANA

MOTIVACIÓN



—> GALAXIA TARDÍA

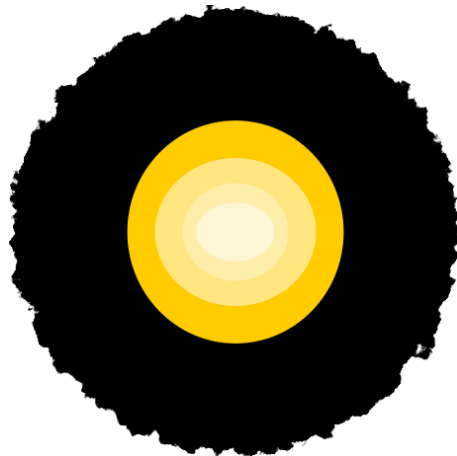


—> GALAXIA TEMPRANA

MOTIVACIÓN



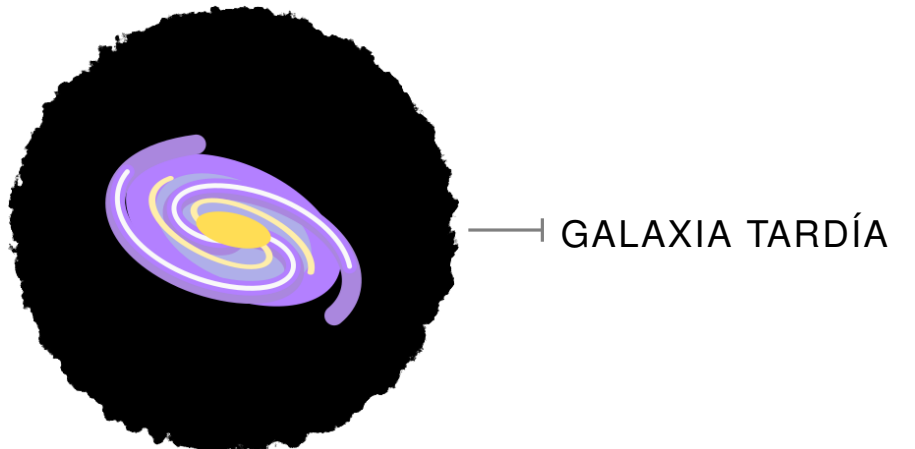
—> GALAXIA TARDÍA



—> GALAXIA TEMPRANA

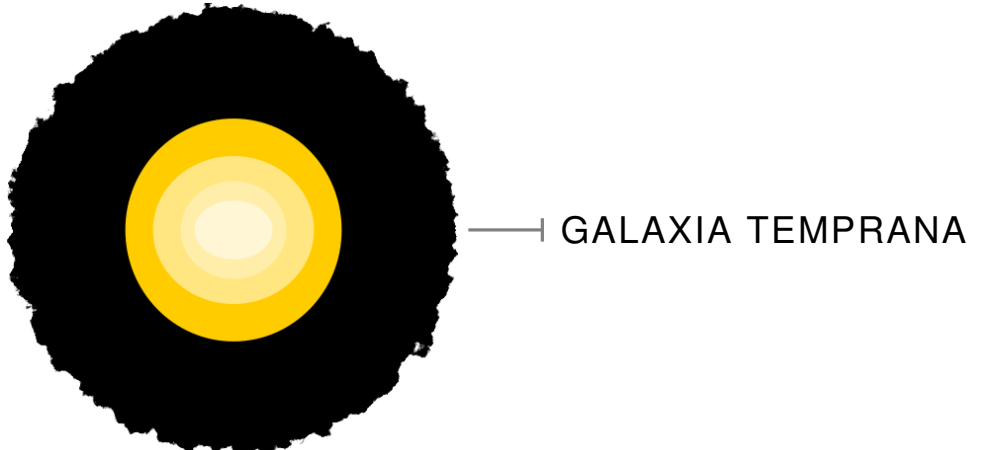
MOTIVACIÓN

DINÁMICA INESTABLE
FORMACIÓN ESTELAR
POBLACIÓN MIXTA
MIE MULTI-FASE



—> GALAXIA TARDÍA

DINÁMICA ESTABLE
EVOLUCIÓN PASIVA
POBLACIÓN VIEJA
MIE DIFUSO



—> GALAXIA TEMPRANA

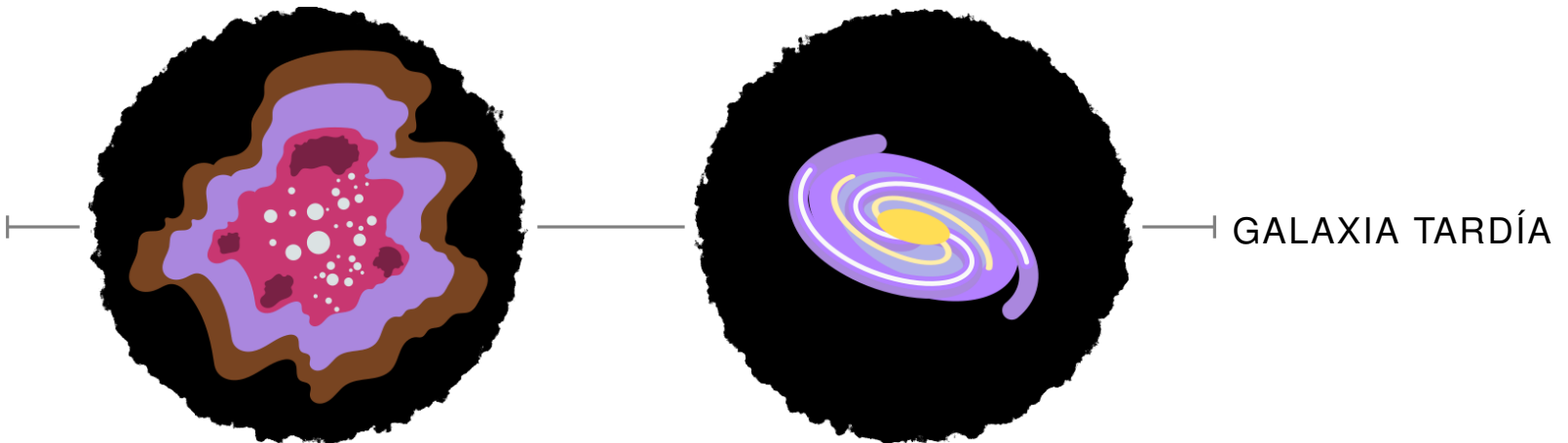
MOTIVACIÓN



—> GALAXIA TARDÍA

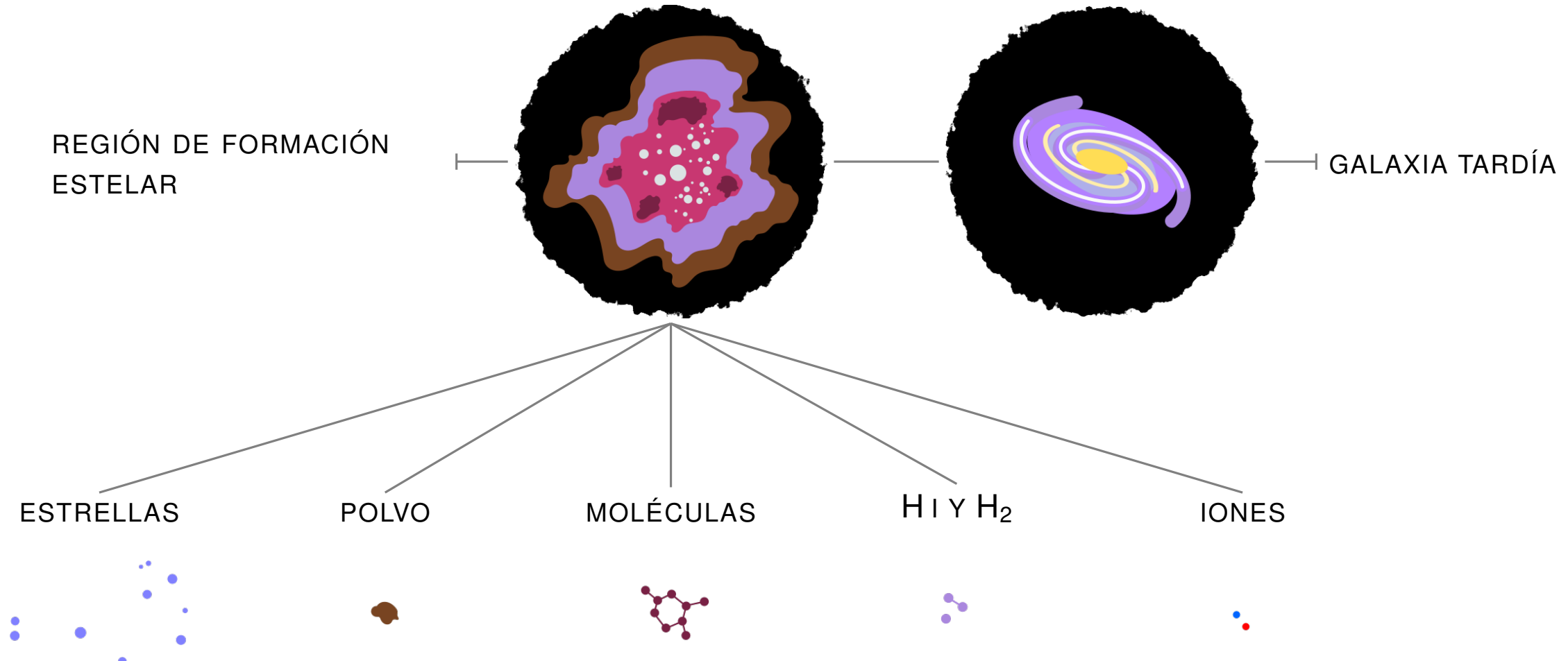
MOTIVACIÓN

REGIÓN DE FORMACIÓN
ESTELAR

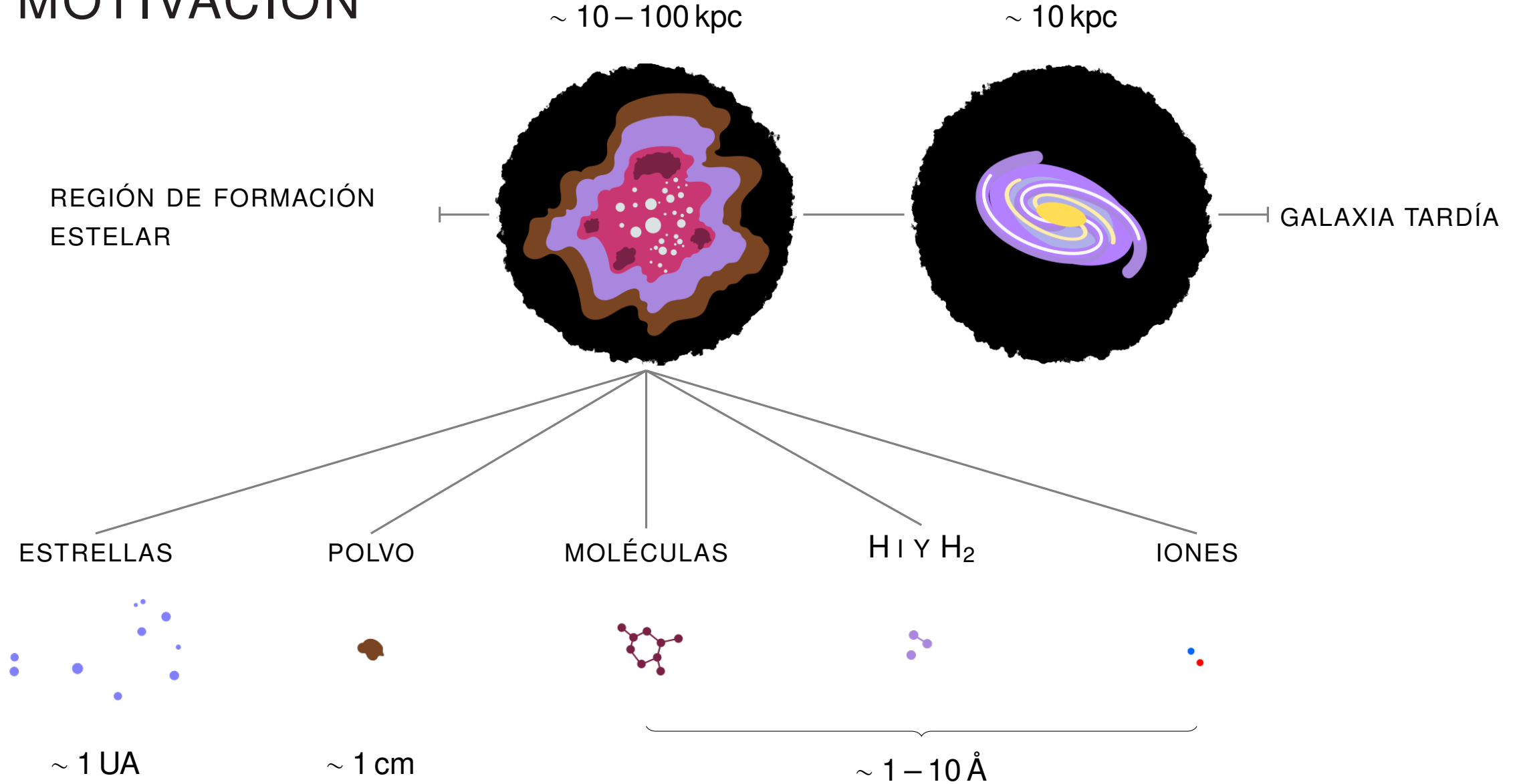


GALAXIA TARDÍA

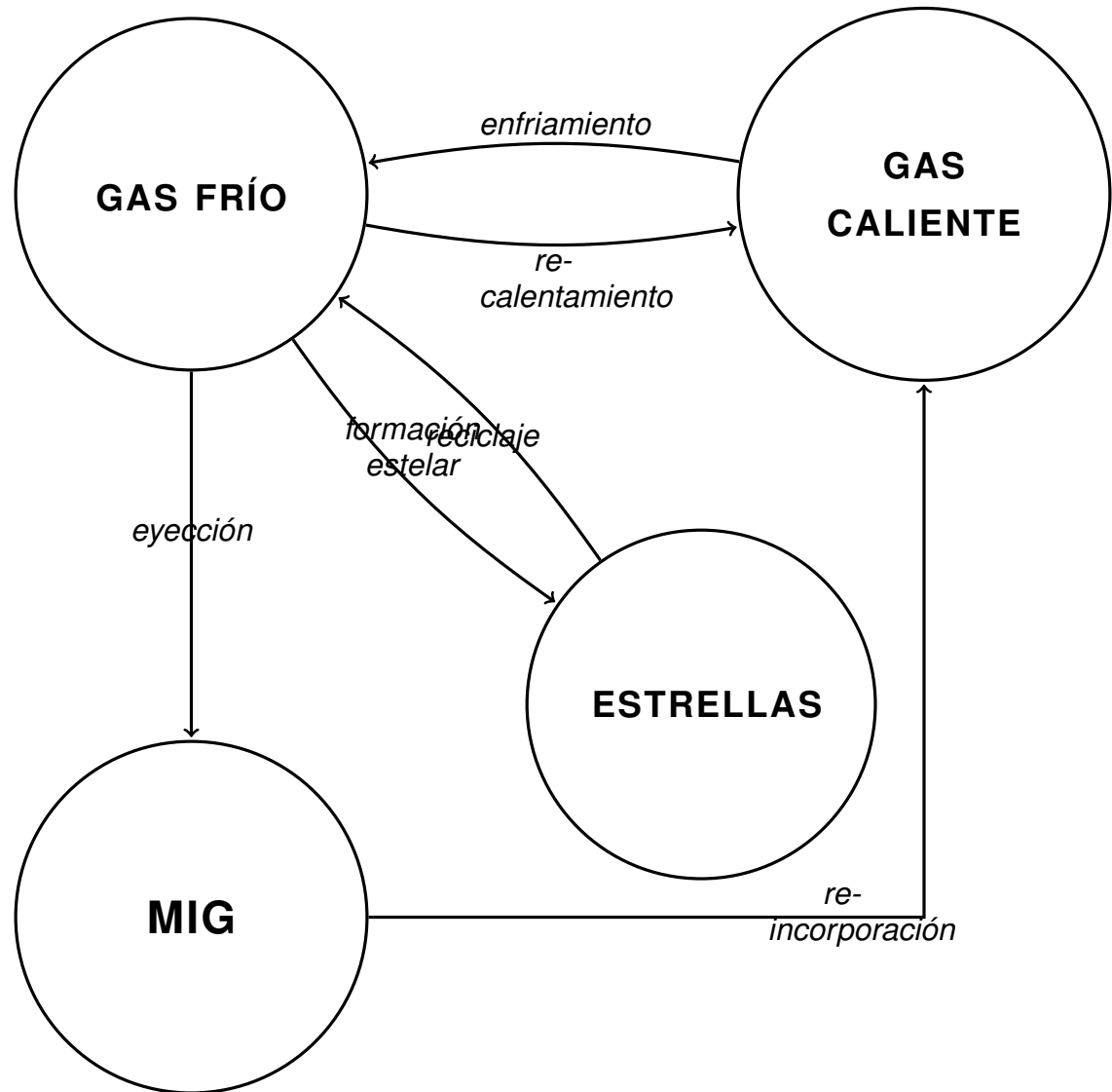
MOTIVACIÓN



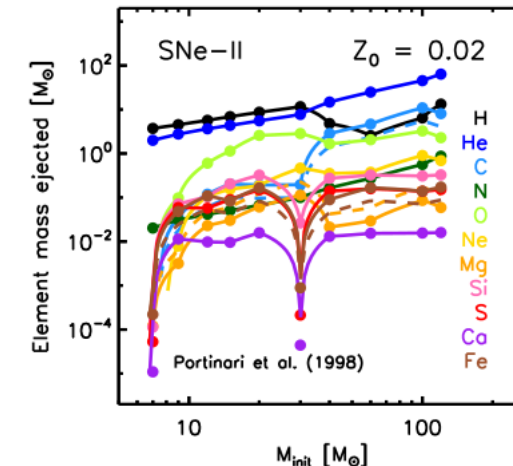
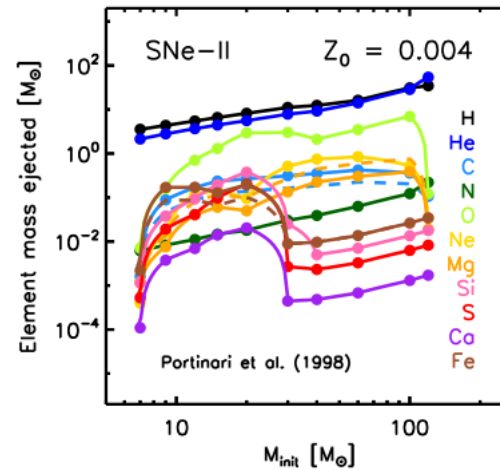
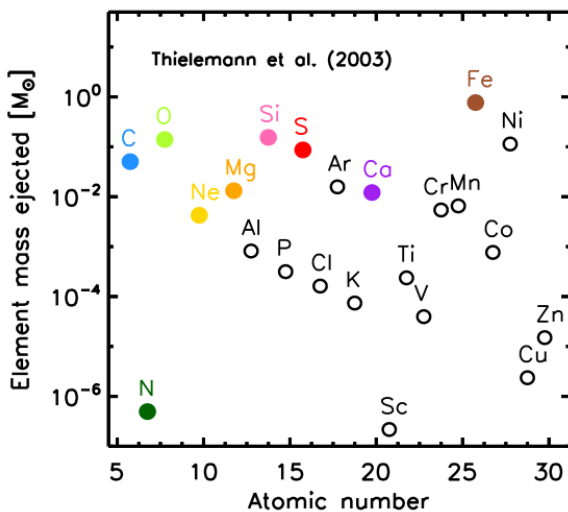
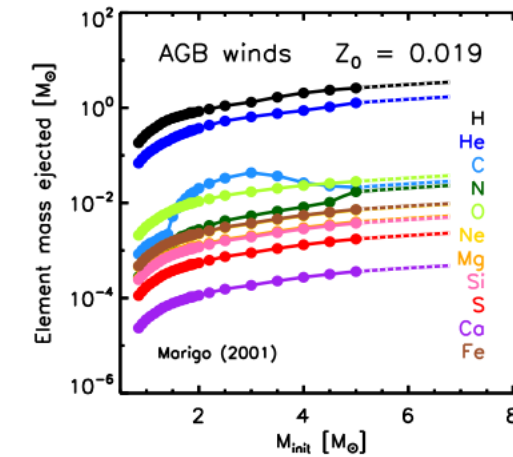
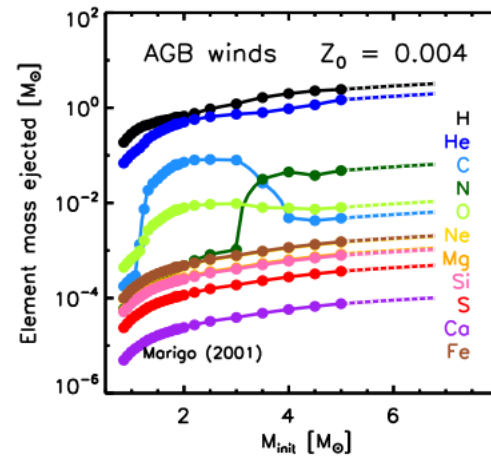
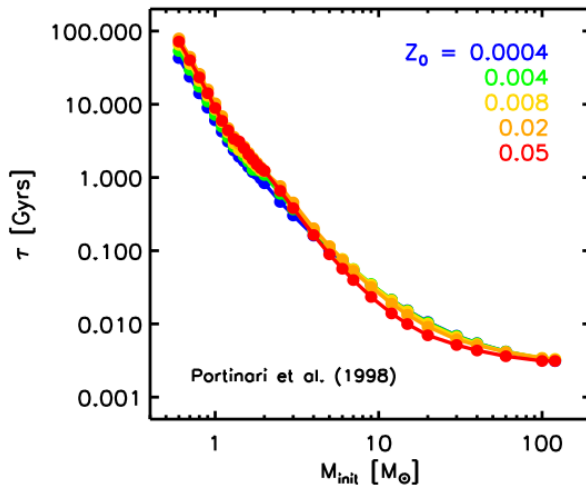
MOTIVACIÓN



MOTIVACIÓN

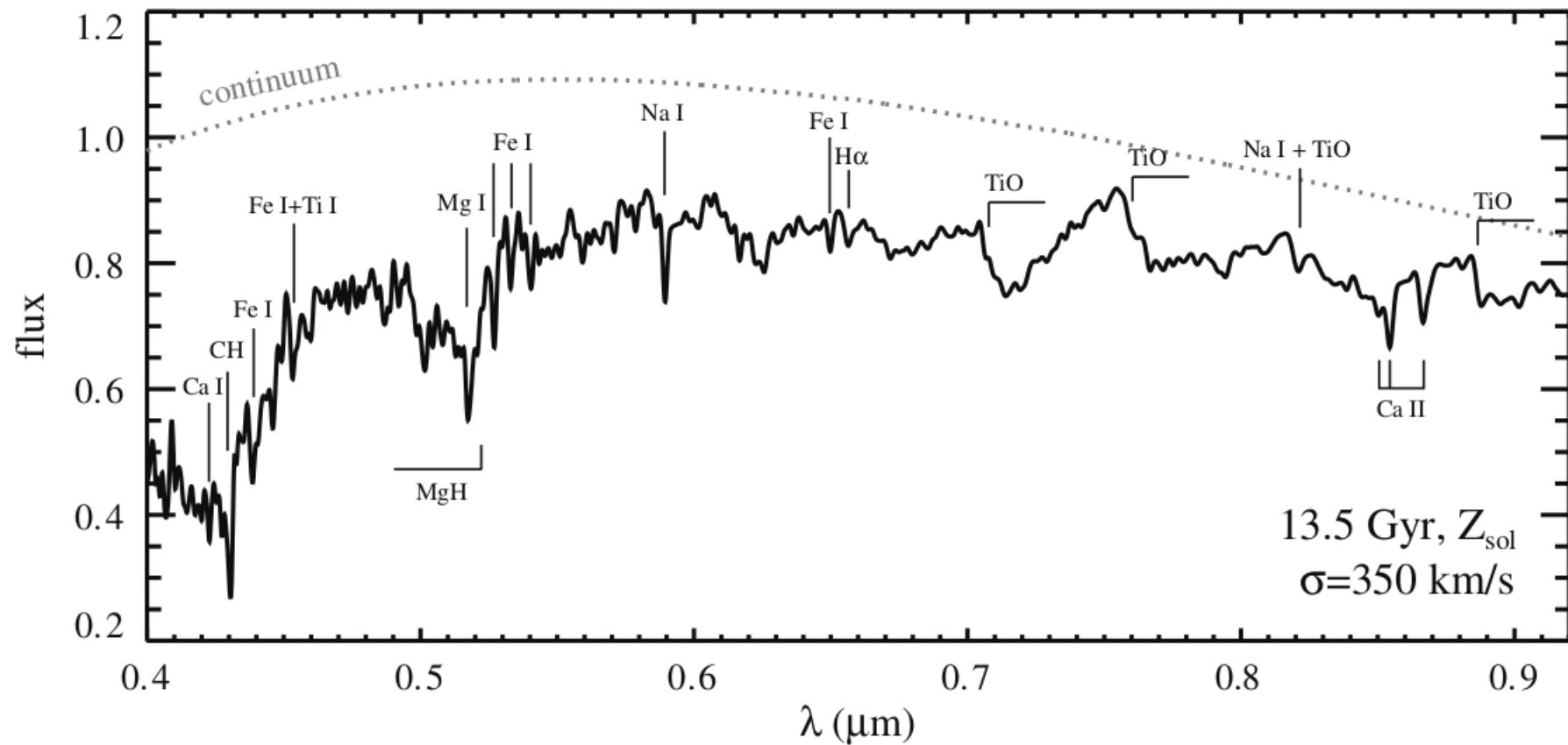


CONSIDERACIONES TEÓRICAS

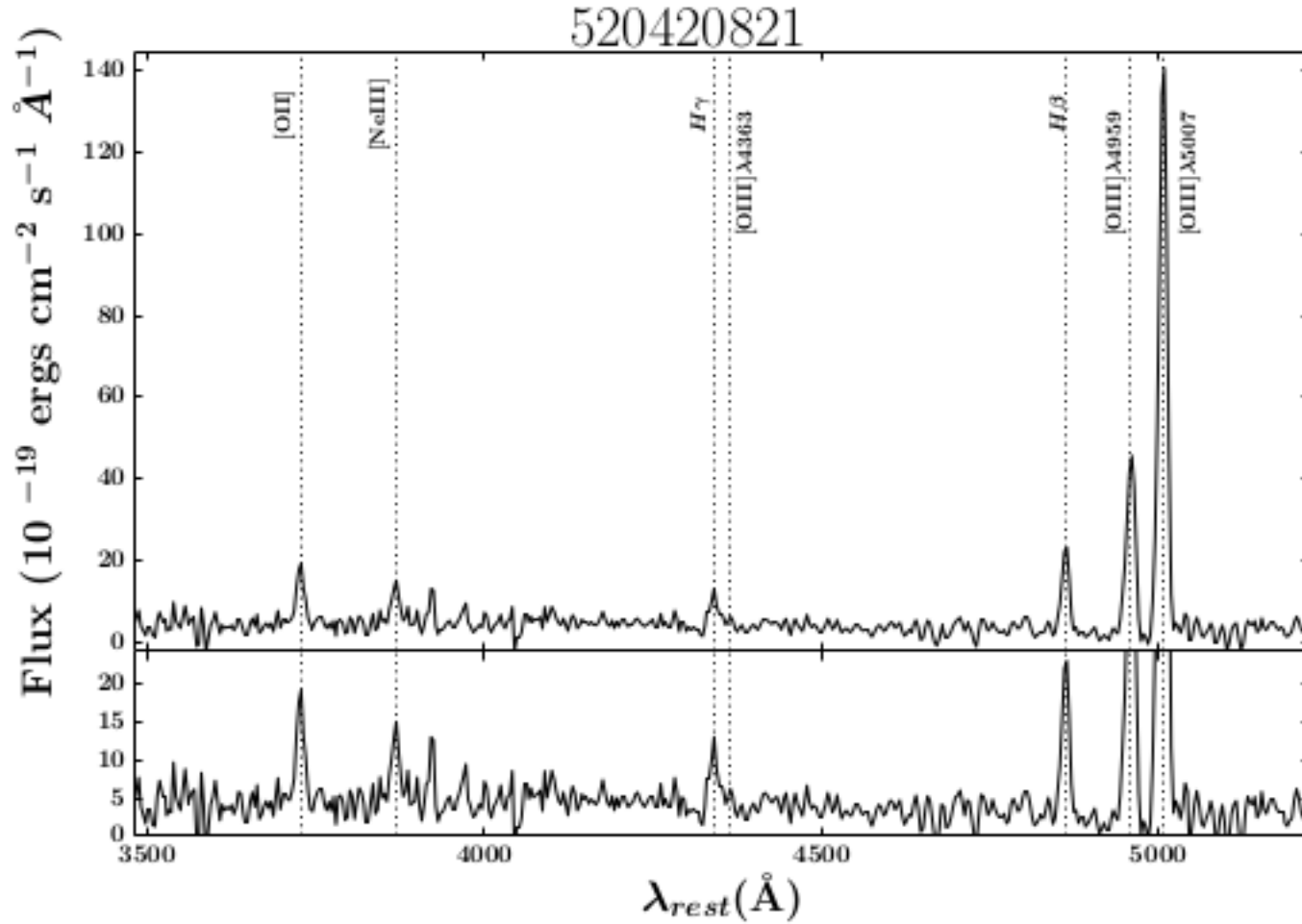


CONSIDERACIONES OBSERVACIONALES

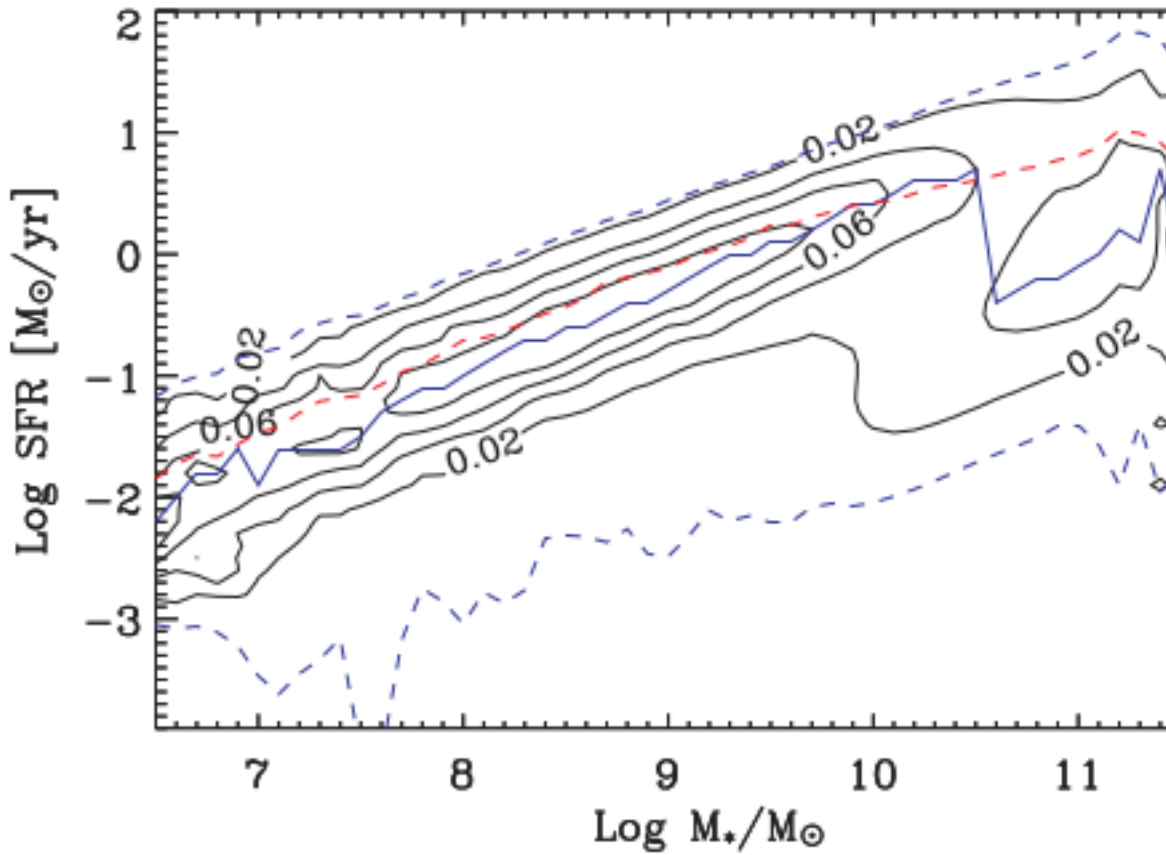
En las estrellas de baja masa, que pueden vivir por $> 3 \times 10^9$ años muestran evidencia de esta evolución química en sus distribuciones espectrales de energía (**Conroy2014**).



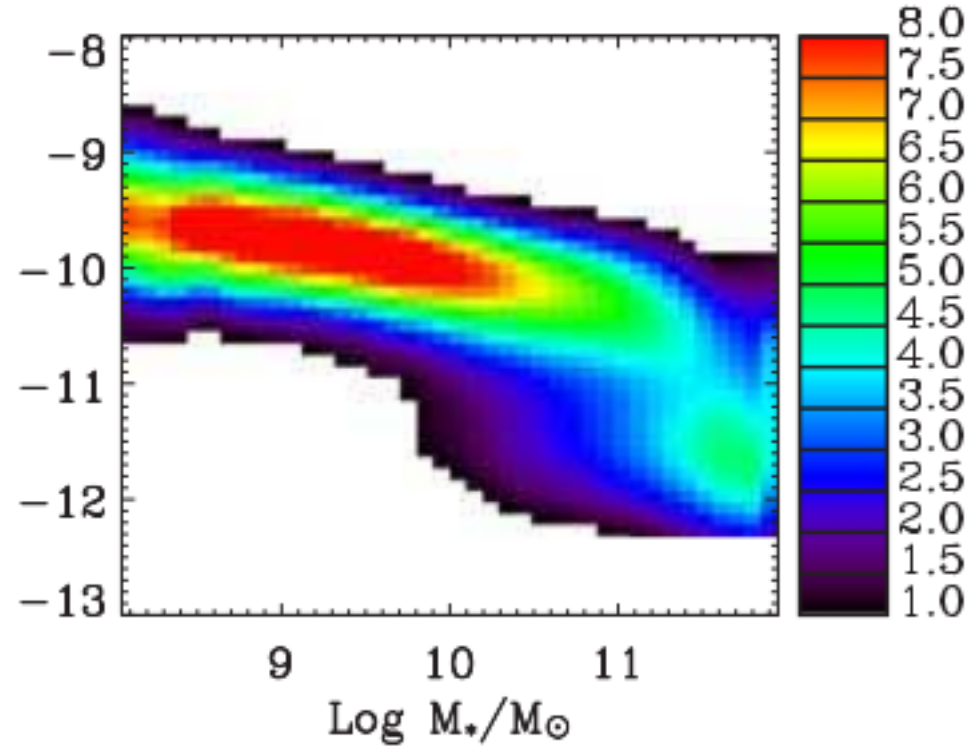
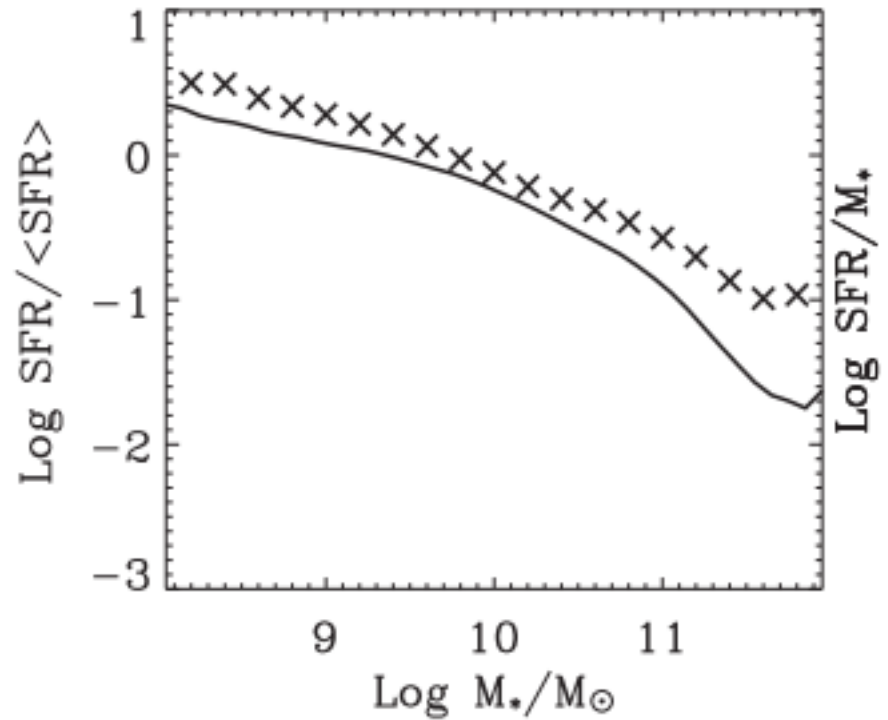
CONSIDERACIONES OBSERVACIONALES



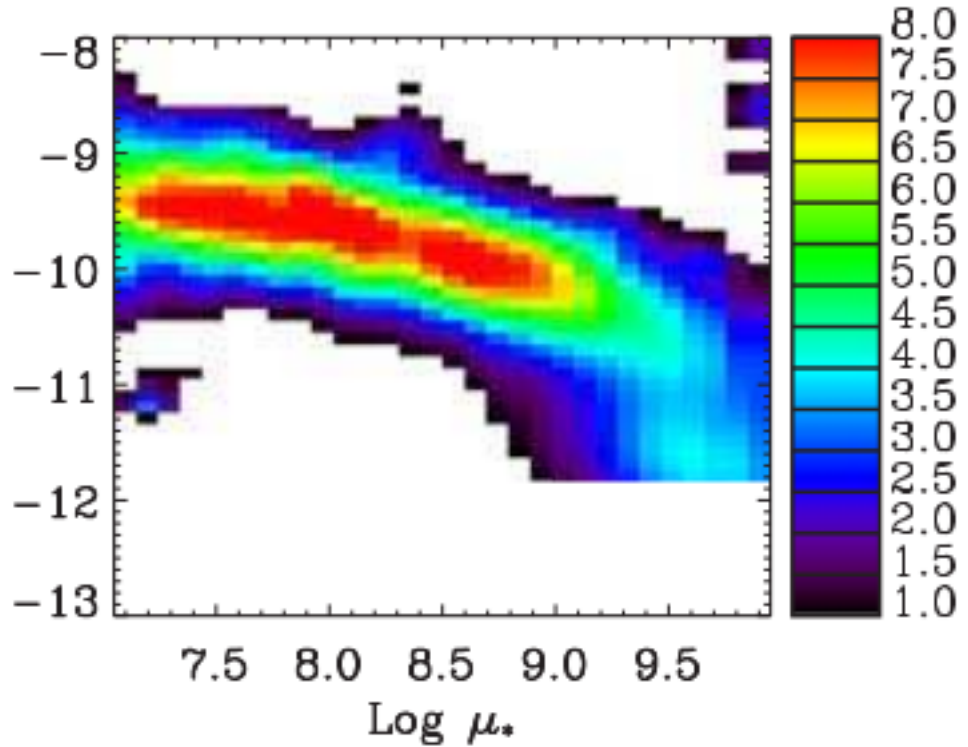
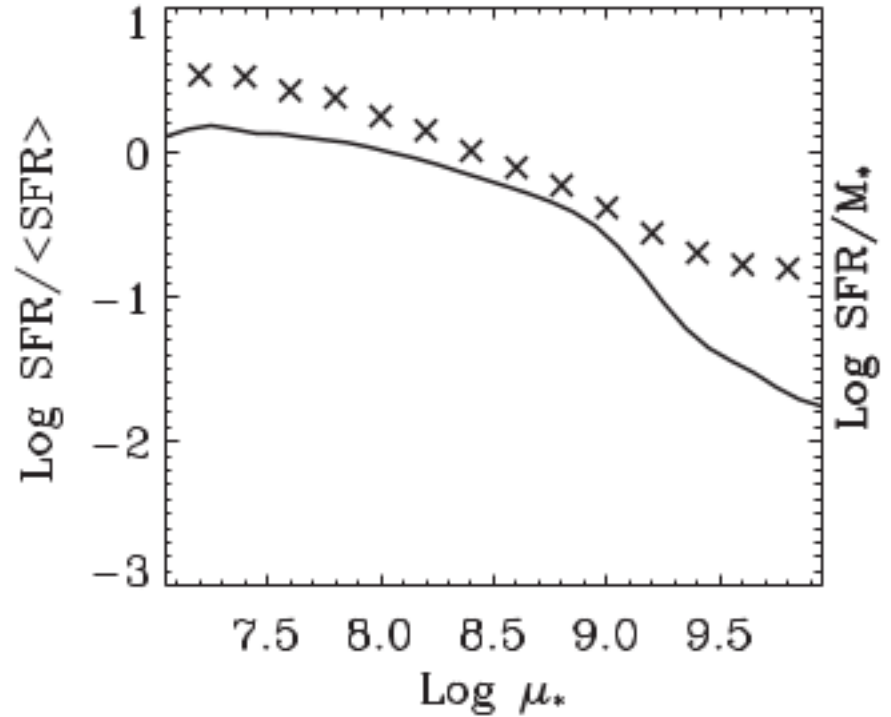
RELACIONES CLÁSICAS — $M_\star - \Psi$



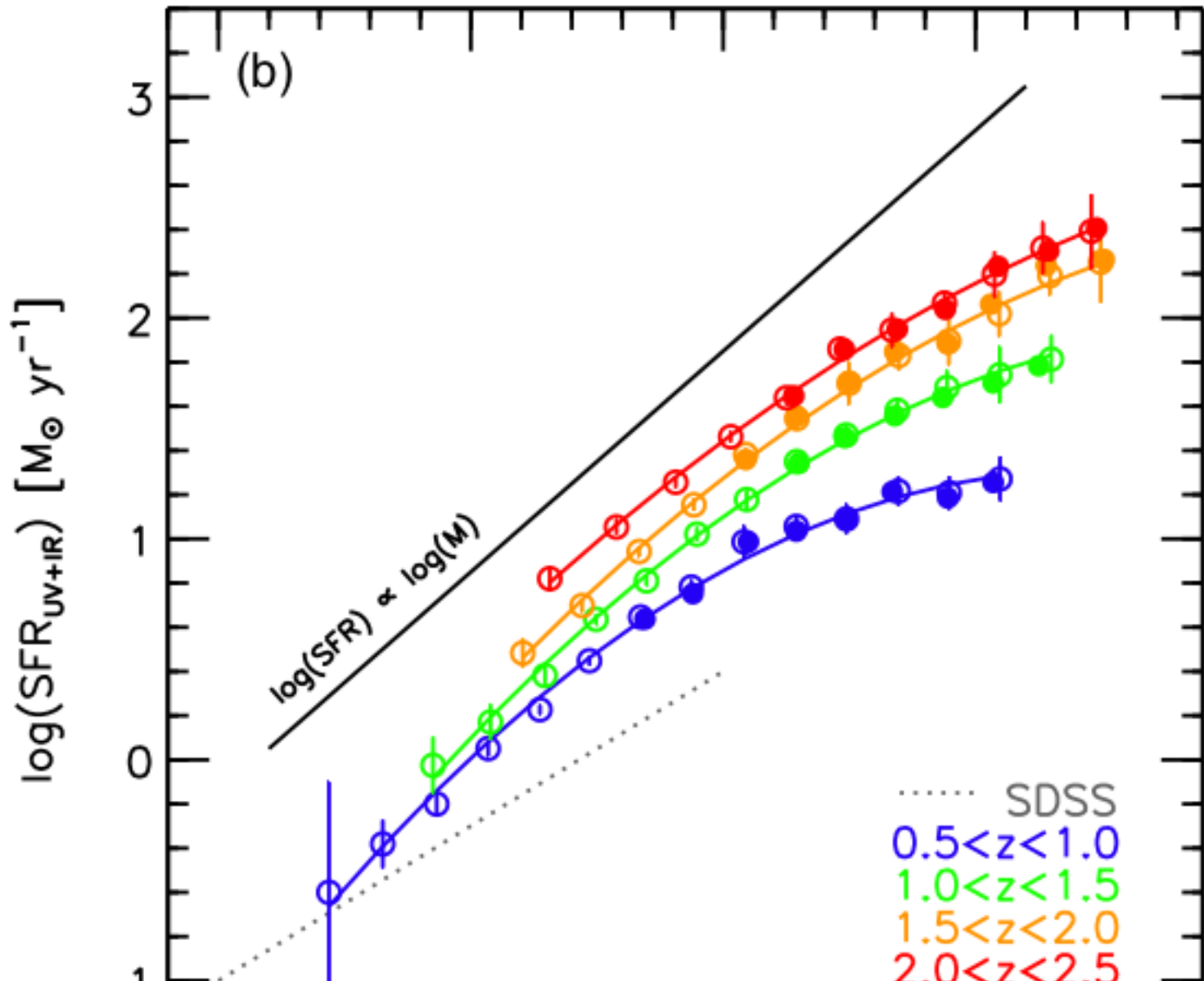
RELACIONES CLÁSICAS — M_* — Ψ



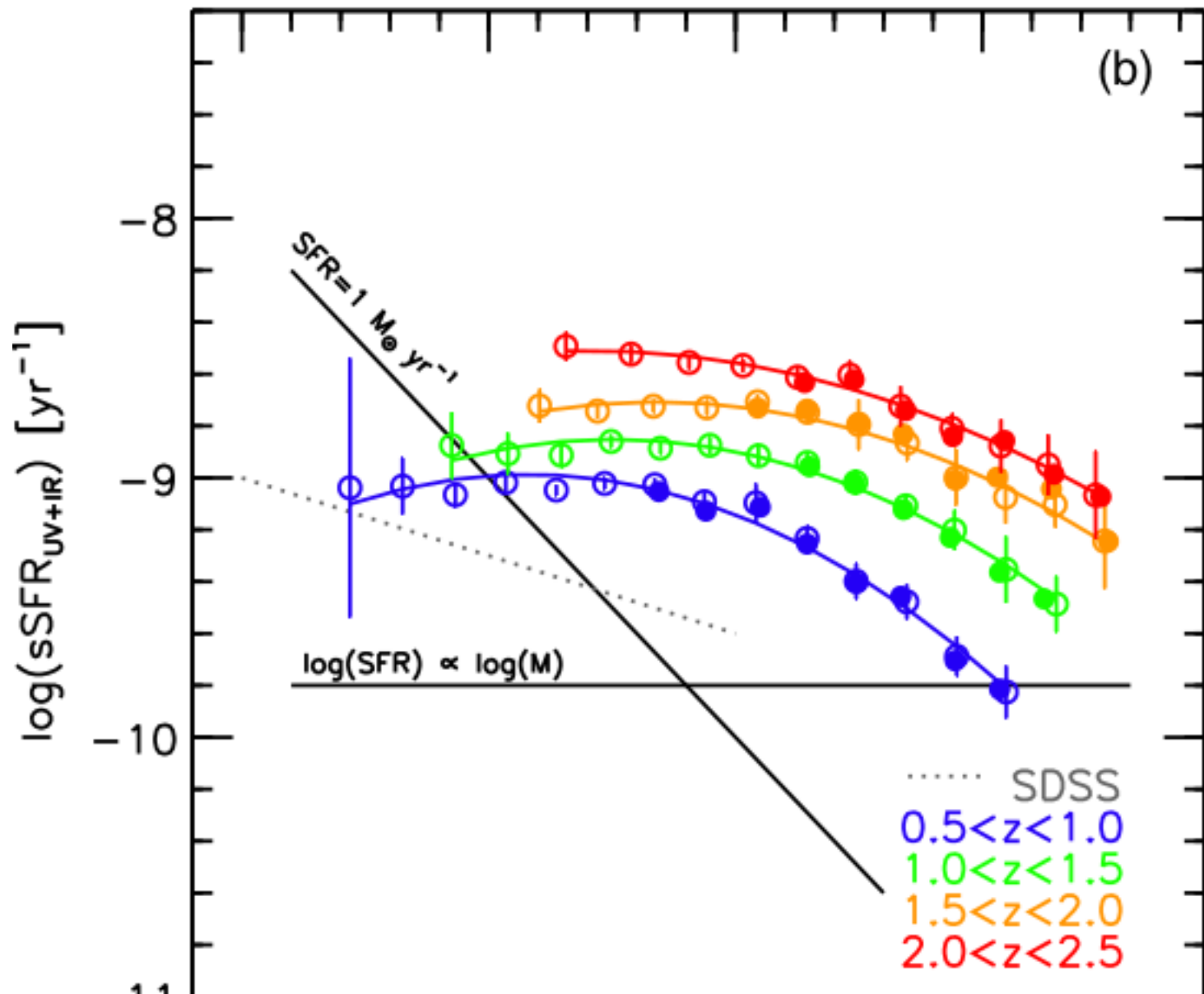
RELACIONES CLÁSICAS — M_{\star} — Ψ



RELACIONES CLÁSICAS — M_* — Ψ



RELACIONES CLÁSICAS — M_{\star} — Ψ



RELACIONES CLÁSICAS — $t_\star - Z_\star$

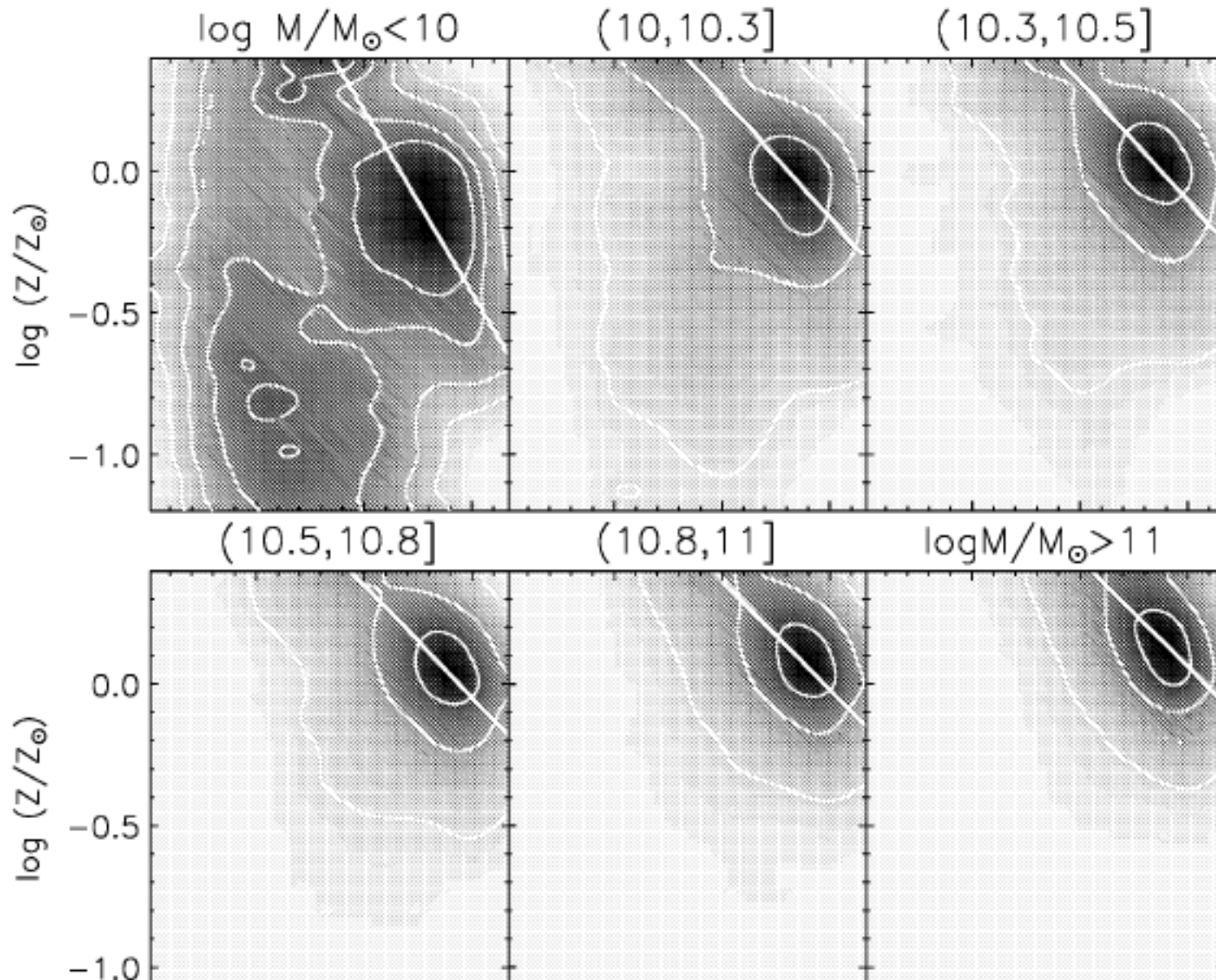
placeholder

$$\Lambda(t) = \frac{\Psi(t)}{\Delta\lambda} \int_{\lambda_{\min}}^{\lambda_{\max}} L_\lambda^{\text{PES}}(Z; t) d\lambda$$

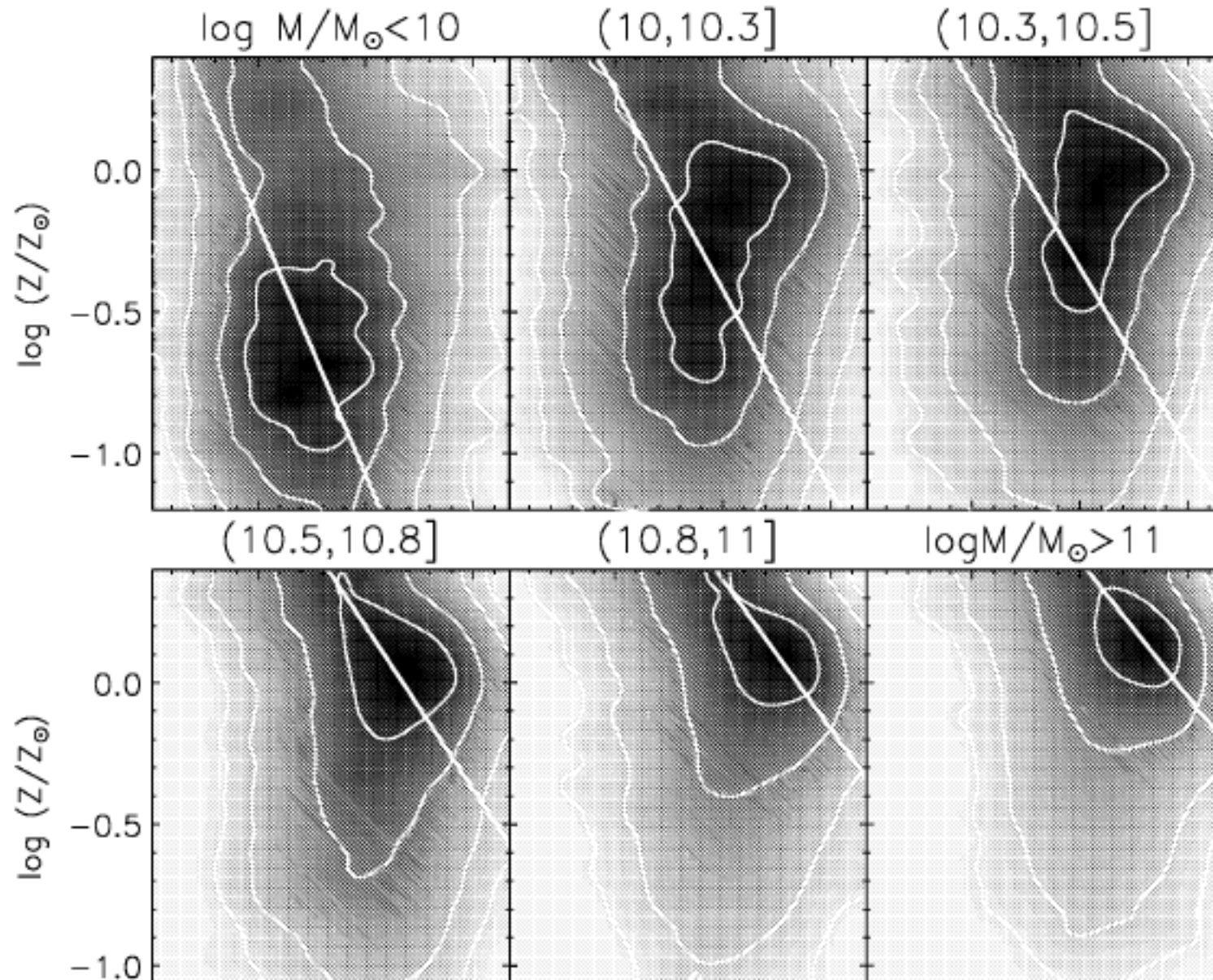
RELACIONES CLÁSICAS — $t_\star - Z_\star$

placeholder

RELACIONES CLÁSICAS — $t_\star - Z_\star$



RELACIONES CLÁSICAS — $t_{\star} - Z_{\star}$



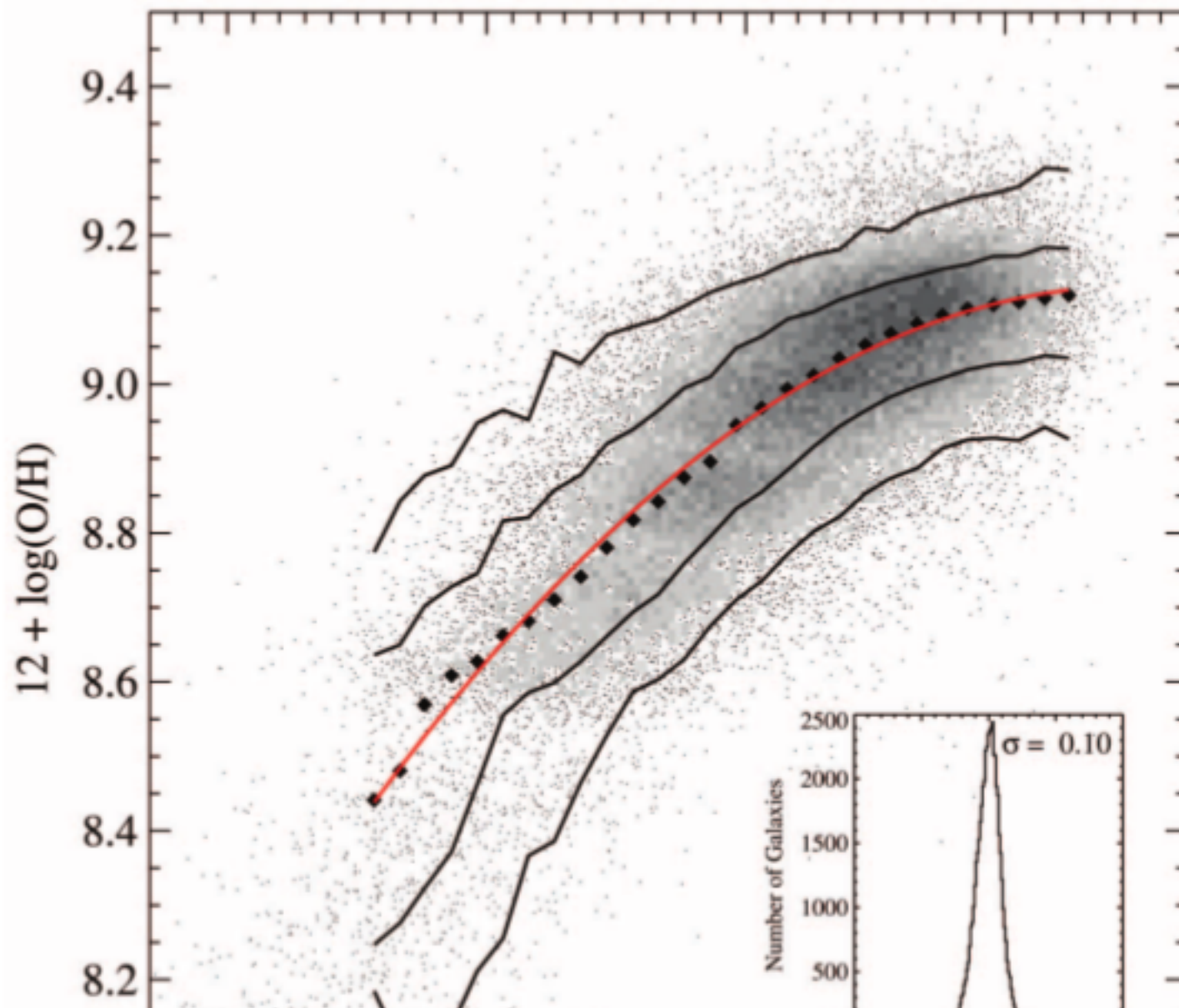
RELACIONES CLÁSICAS — $t_\star - Z_\star$

placeholder

RELACIONES CLÁSICAS — $M_\star - Z$

placeholder

RELACIONES CLÁSICAS — $M_{\star} - Z$



RELACIONES CLÁSICAS — $M_\star - Z$

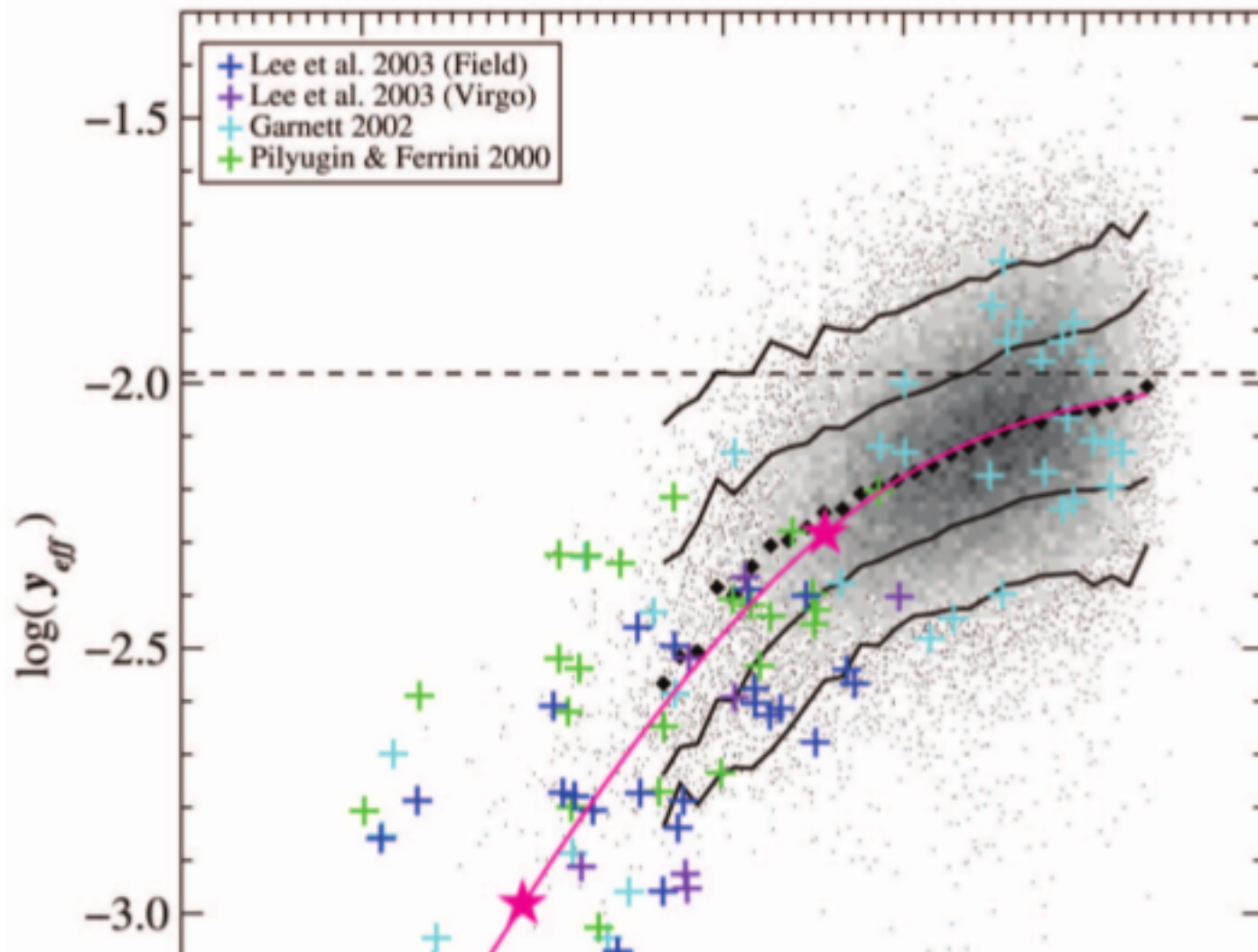
placeholder

RELACIONES CLÁSICAS — $M_\star - Z$

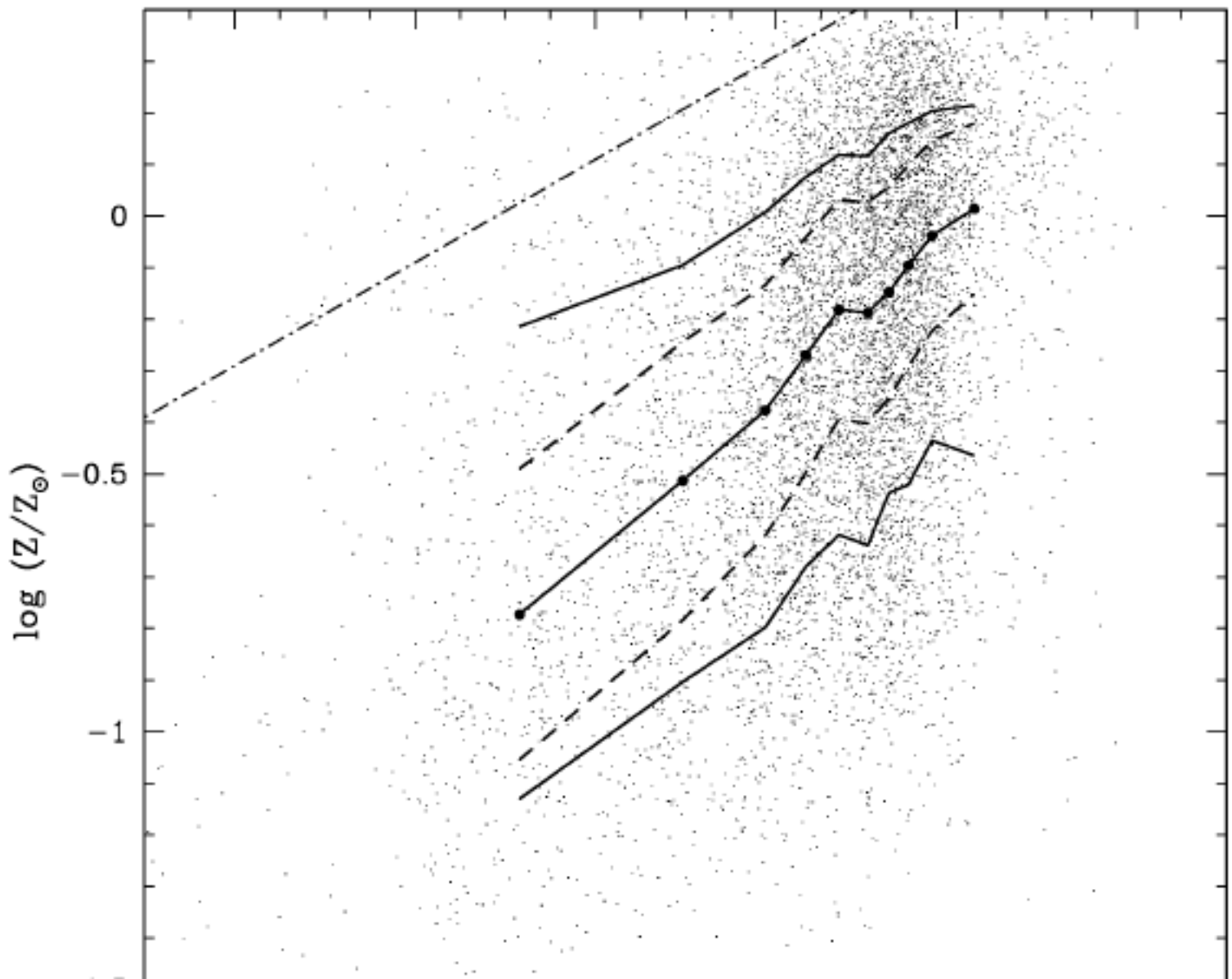
placeholder

RELACIONES CLÁSICAS — $M_{\star} - Z$

$$Z = y \ln [\mu_{\text{gas}}^{-1}],$$



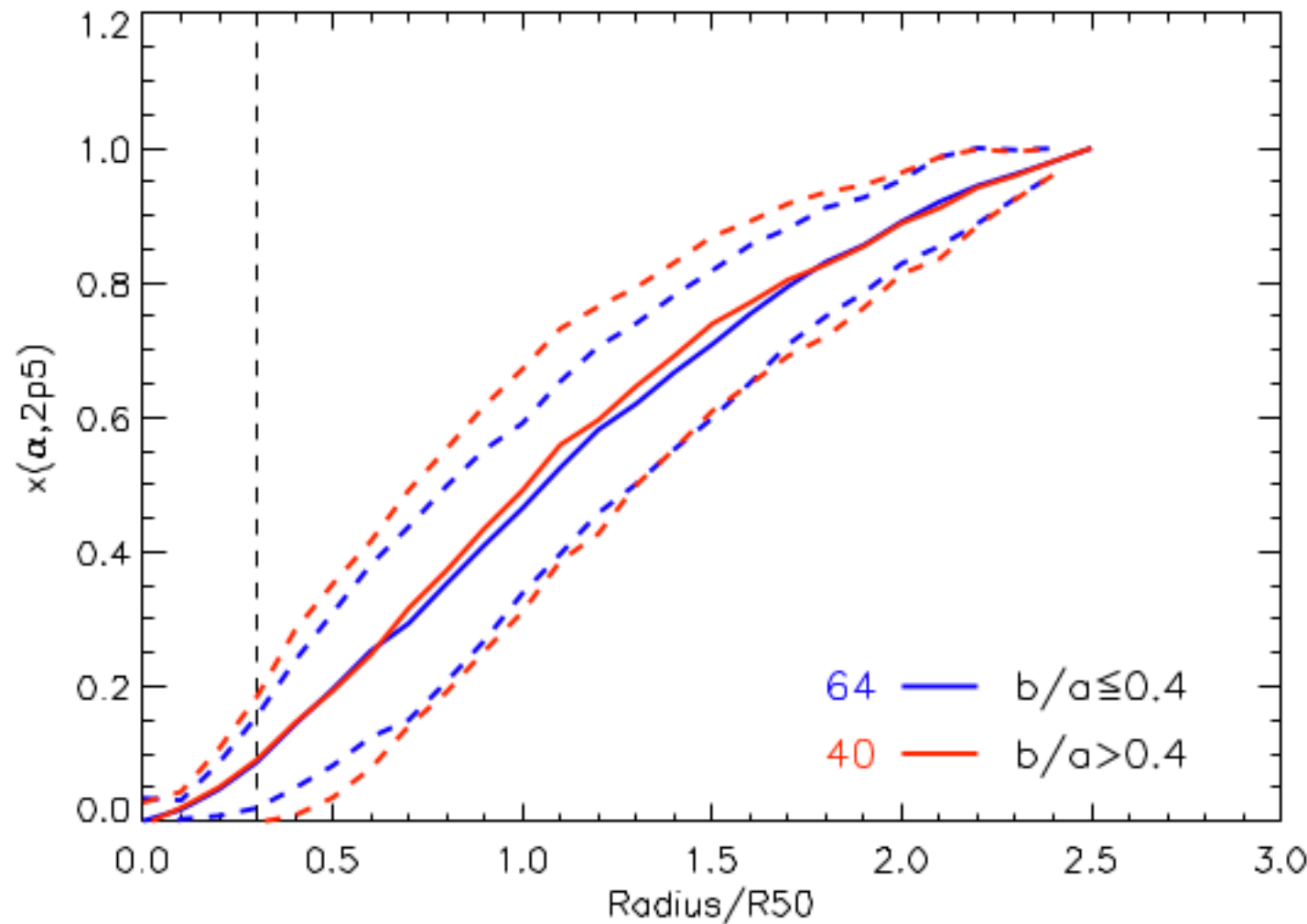
RELACIONES CLÁSICAS — $M_\star - Z$



RELACIONES CLÁSICAS — RESUMEN

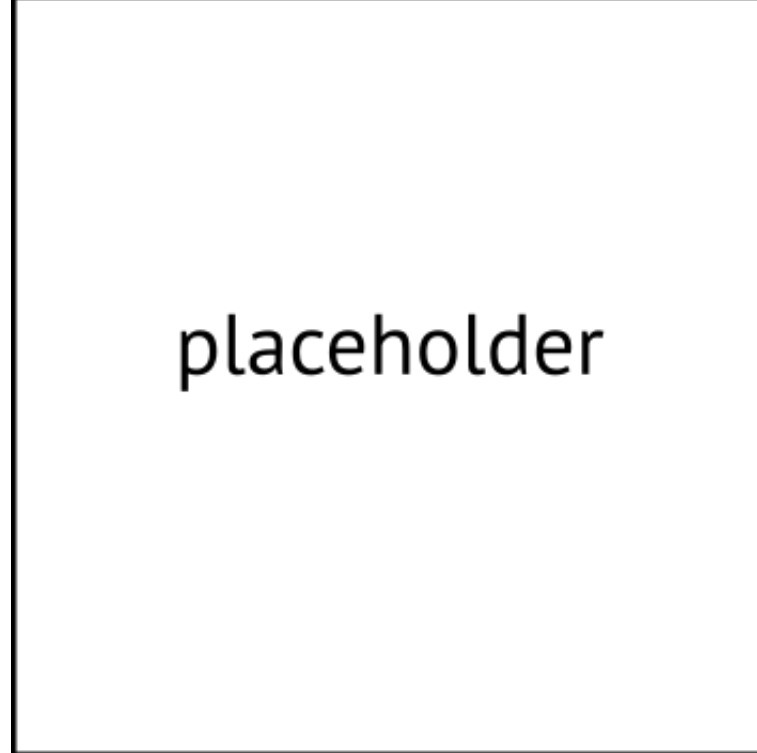
RELACIONES CLÁSICAS — RESUMEN

Incertidumbres observacionales.



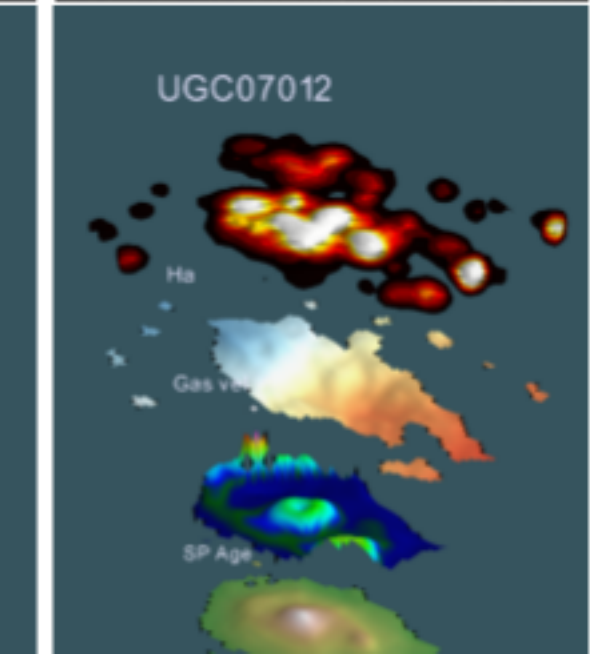
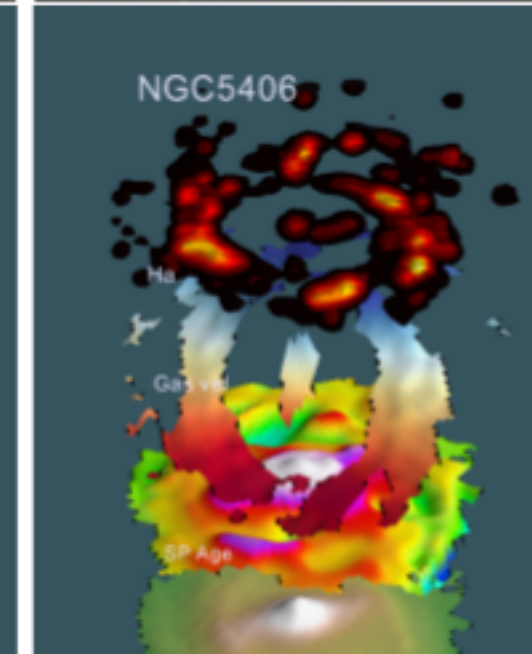
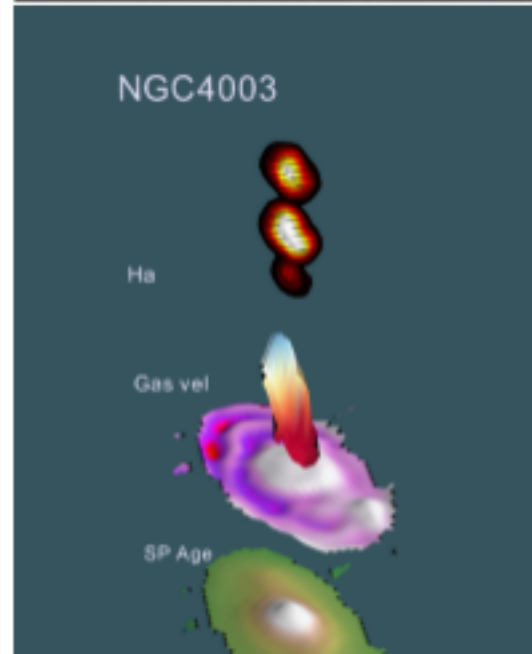
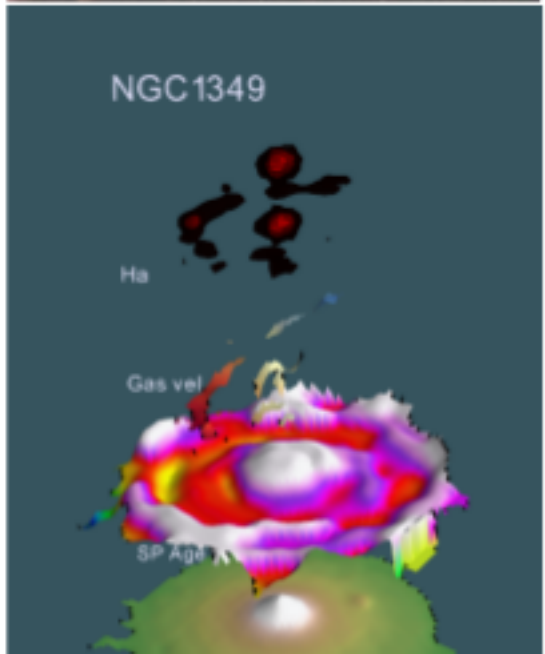
RELACIONES CLÁSICAS — RESUMEN

Incertidumbres en los modelos.



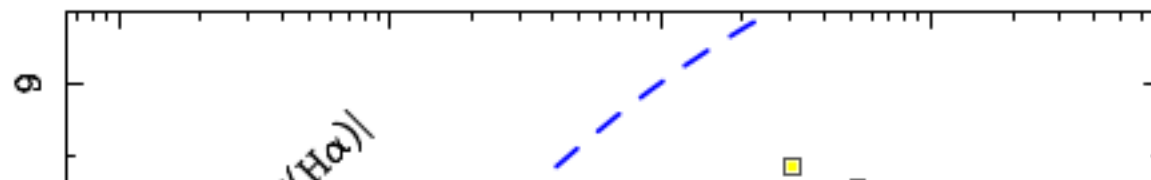
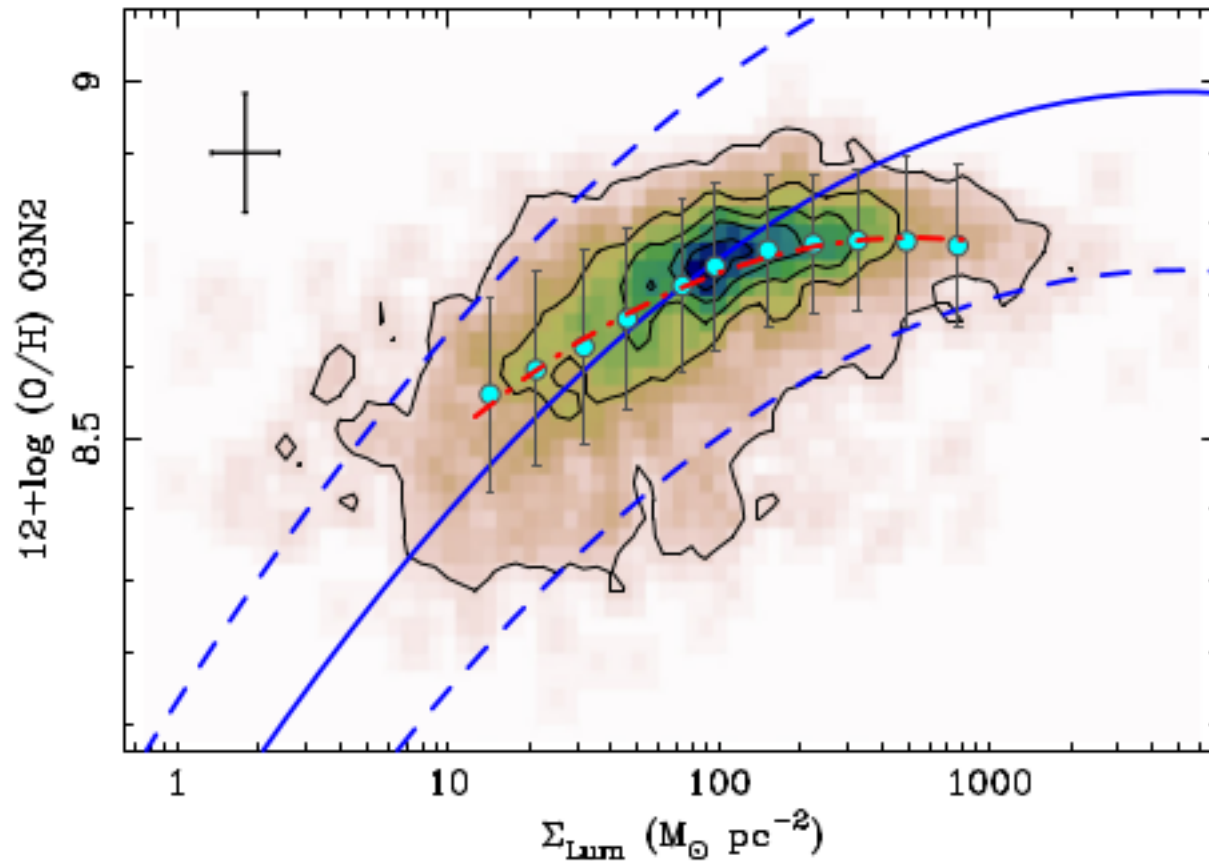
placeholder

CICLO DE MASA VISTO POR CALIFA

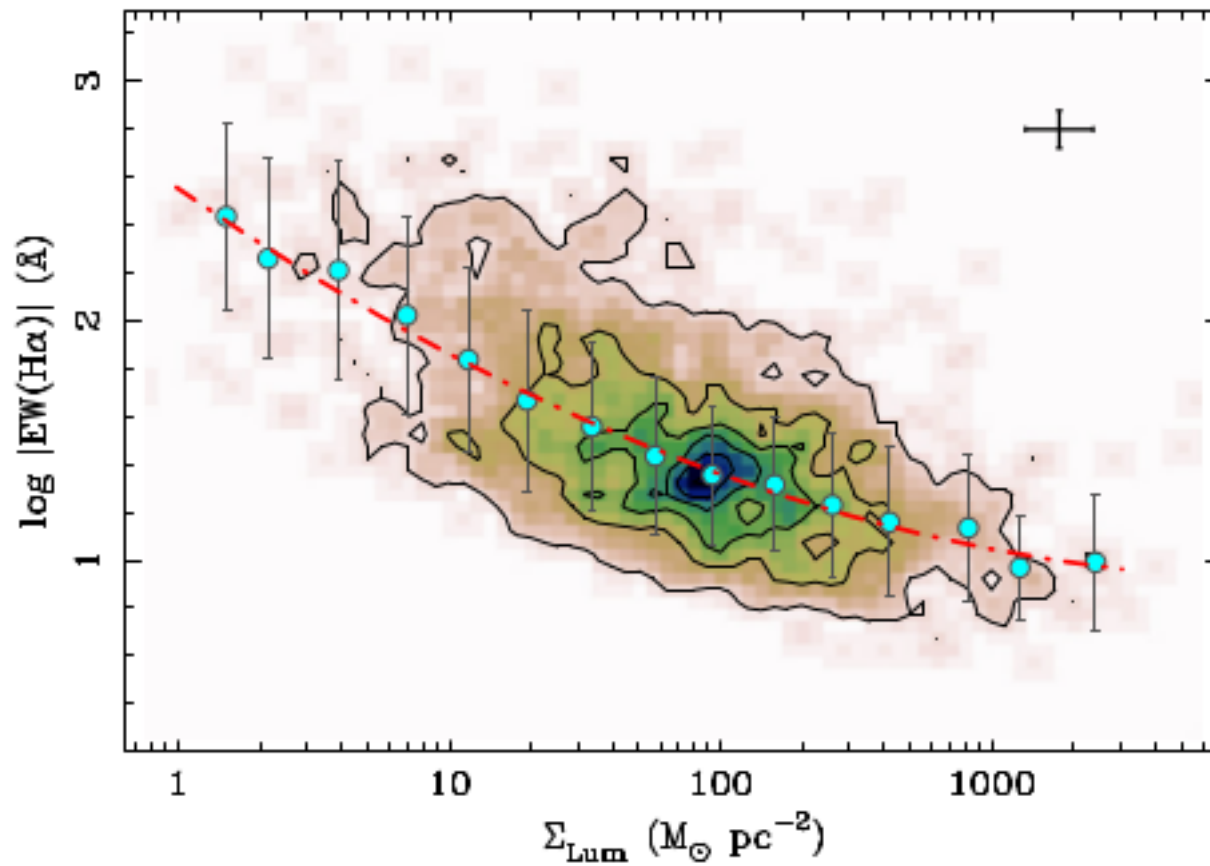


CICLO DE MASA VISTO POR CALIFA — M – Z

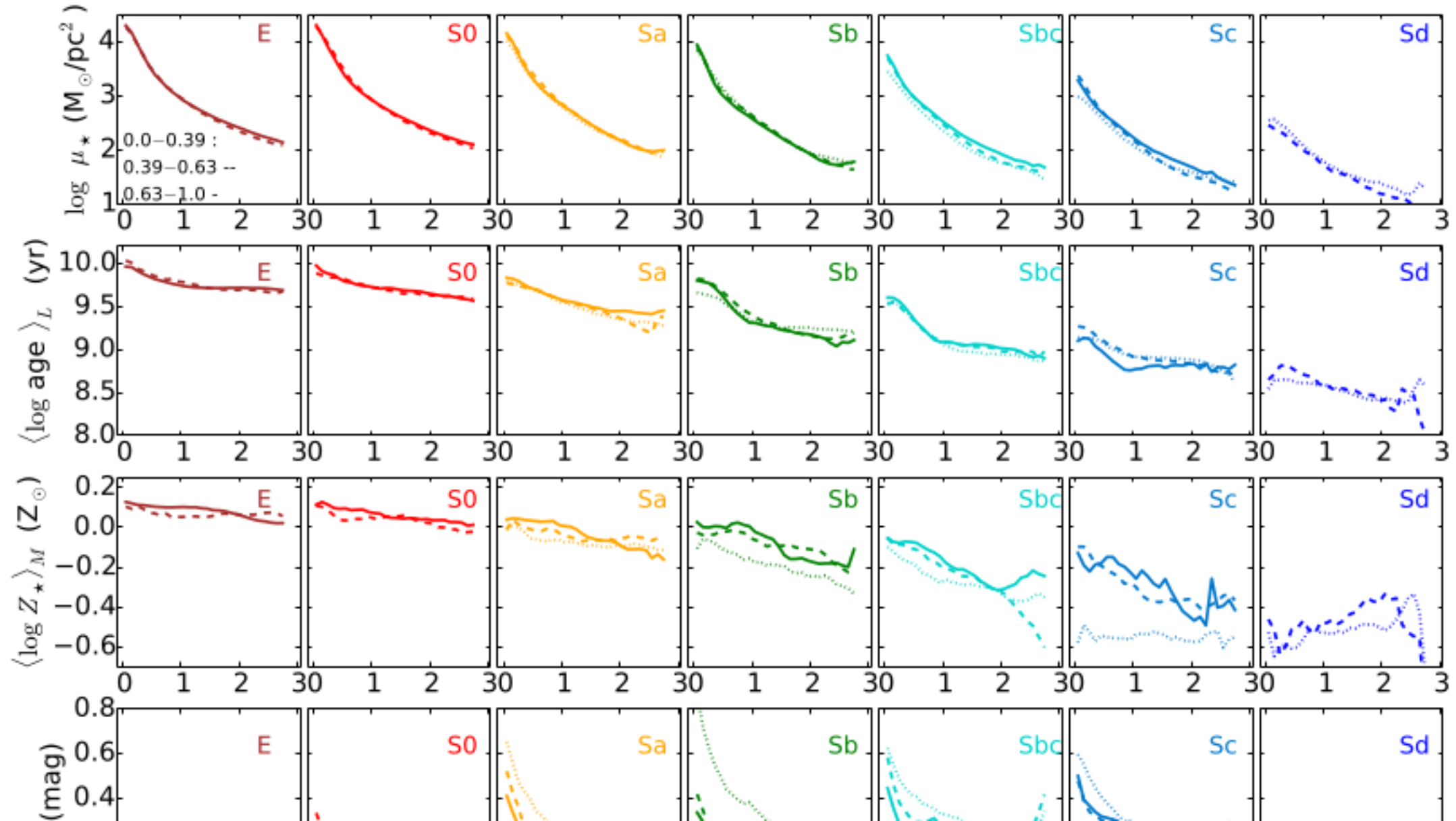
Rosales-Ortega y col. (2012) estudia por primera vez la relación entre la masa, la metalicidad y la tasa de TFE específica en $\sim 2\text{k}$ regiones HII segregadas en una muestra de galaxias tardías sondeadas por CALIFA.



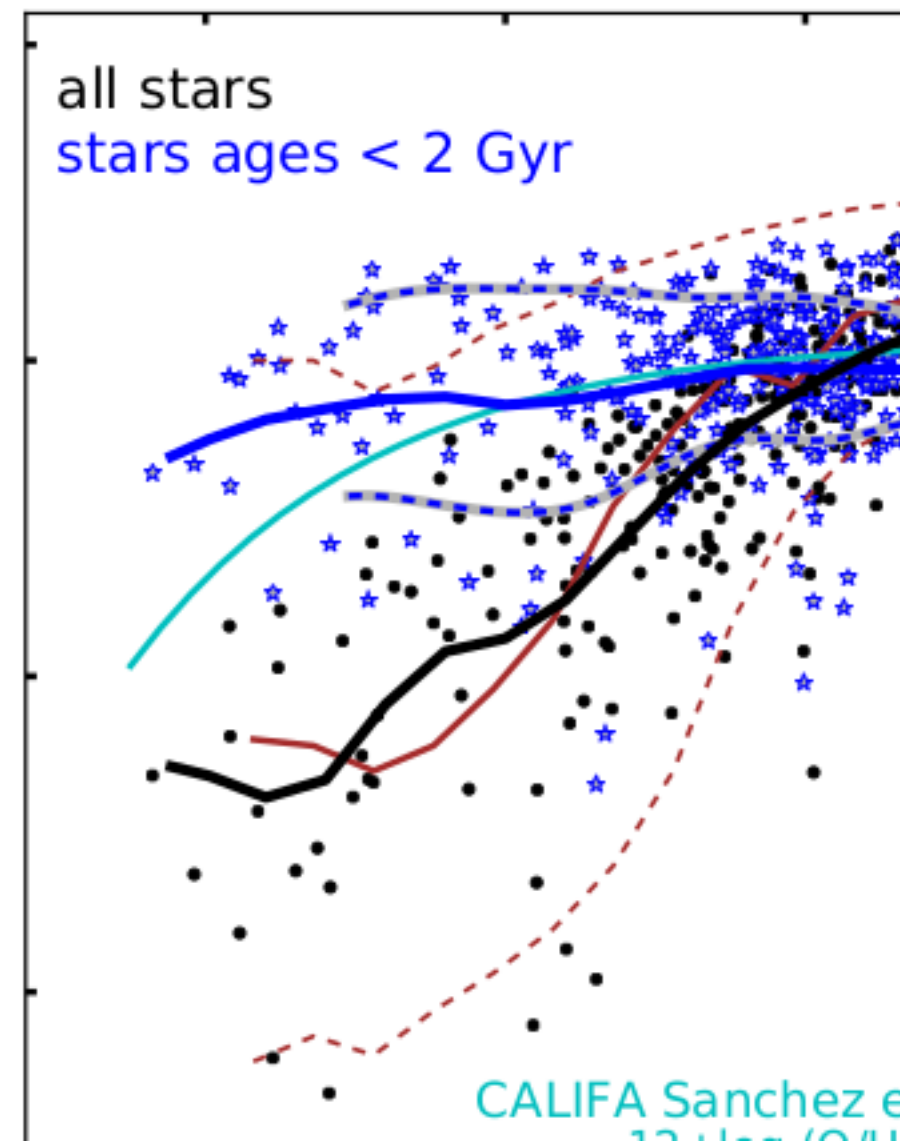
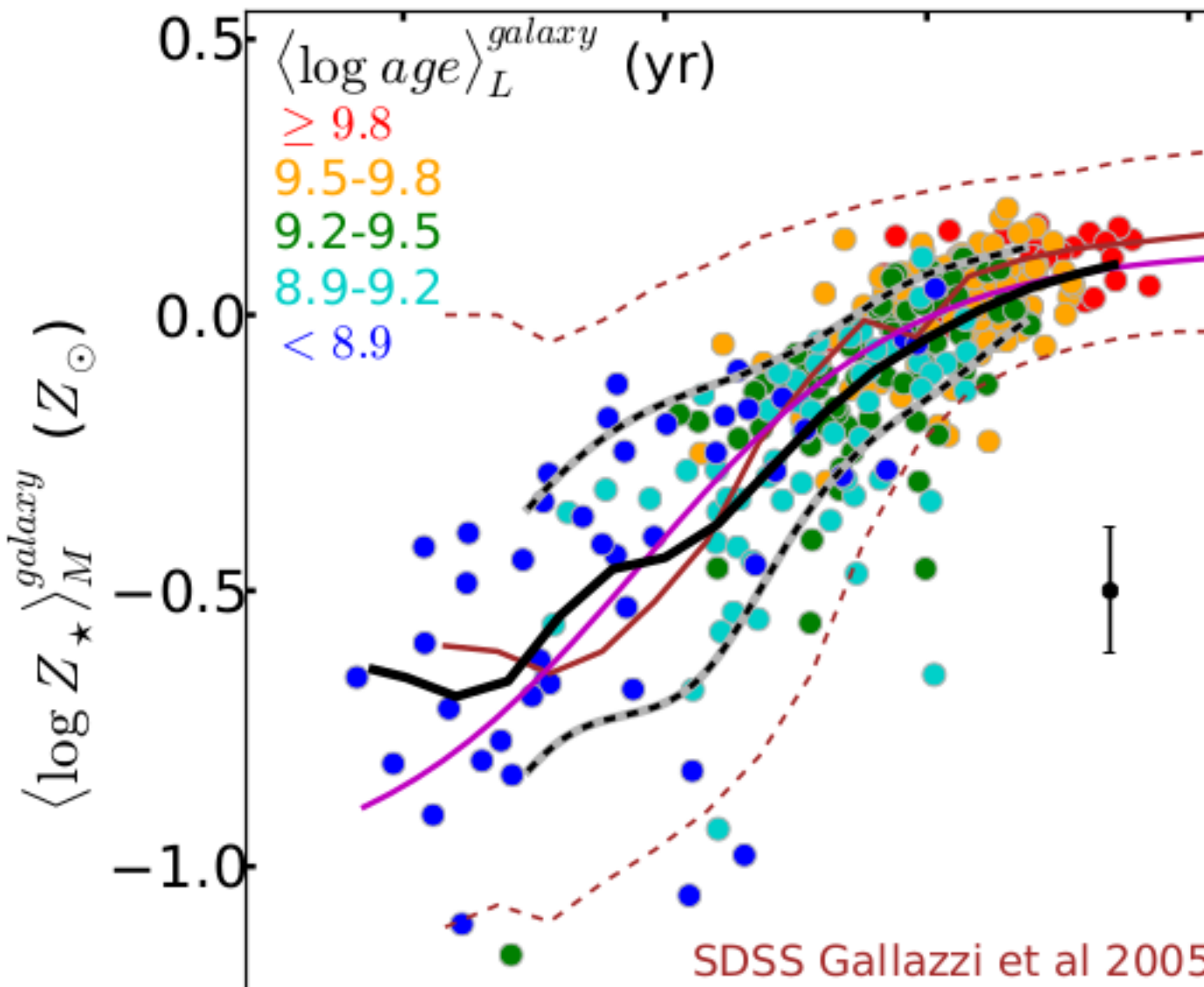
CICLO DE MASA VISTO POR CALIFA — M – Z



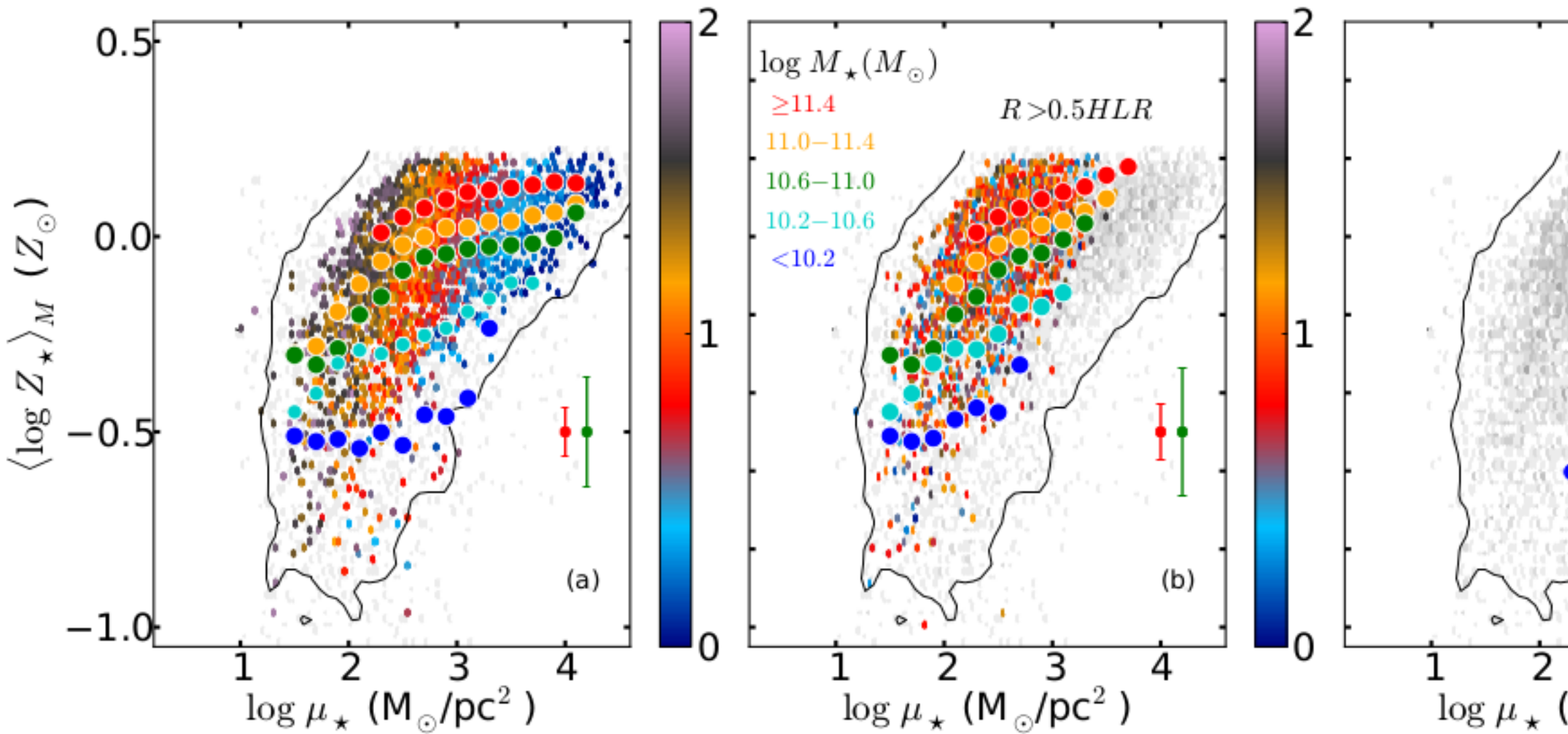
CICLO DE MASA VISTO POR CALIFA — M – Z



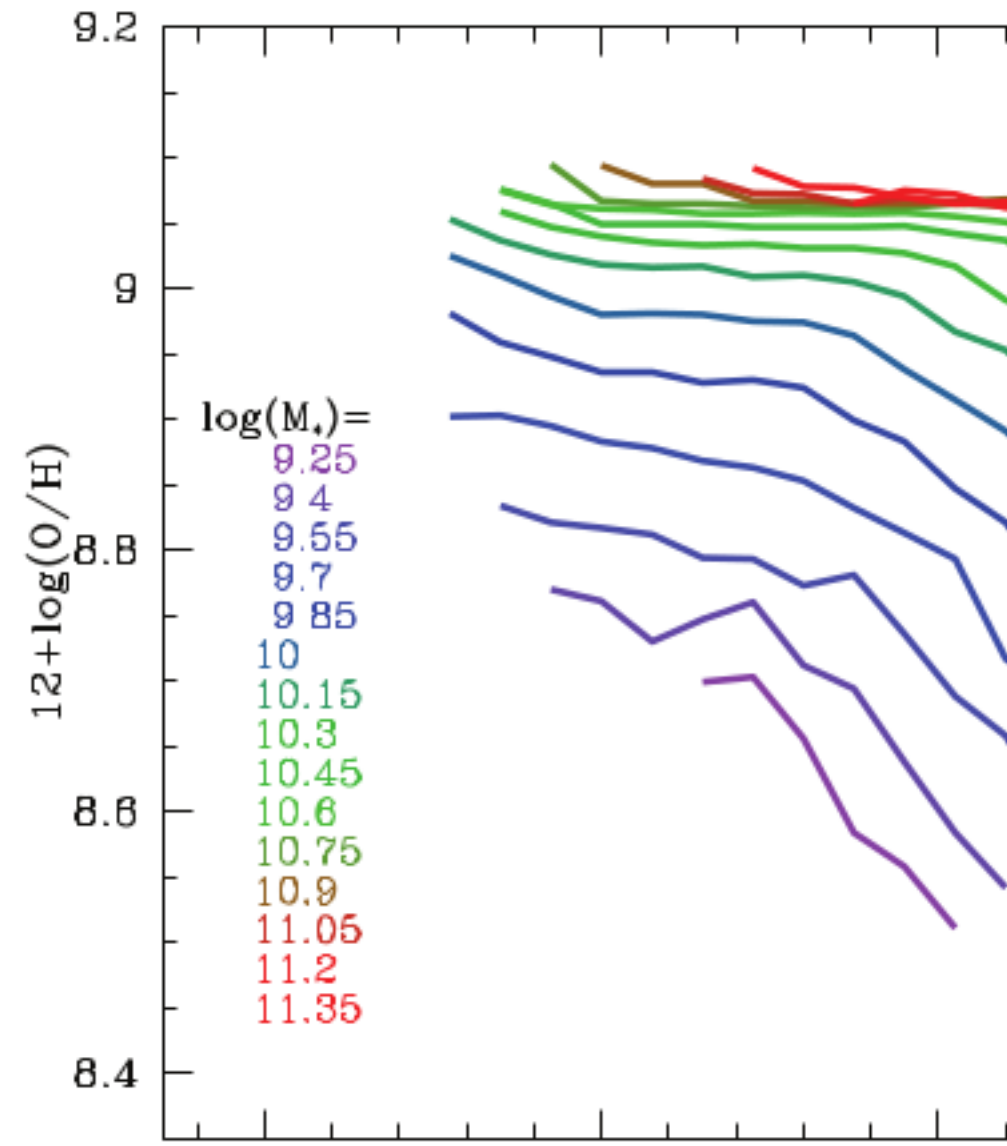
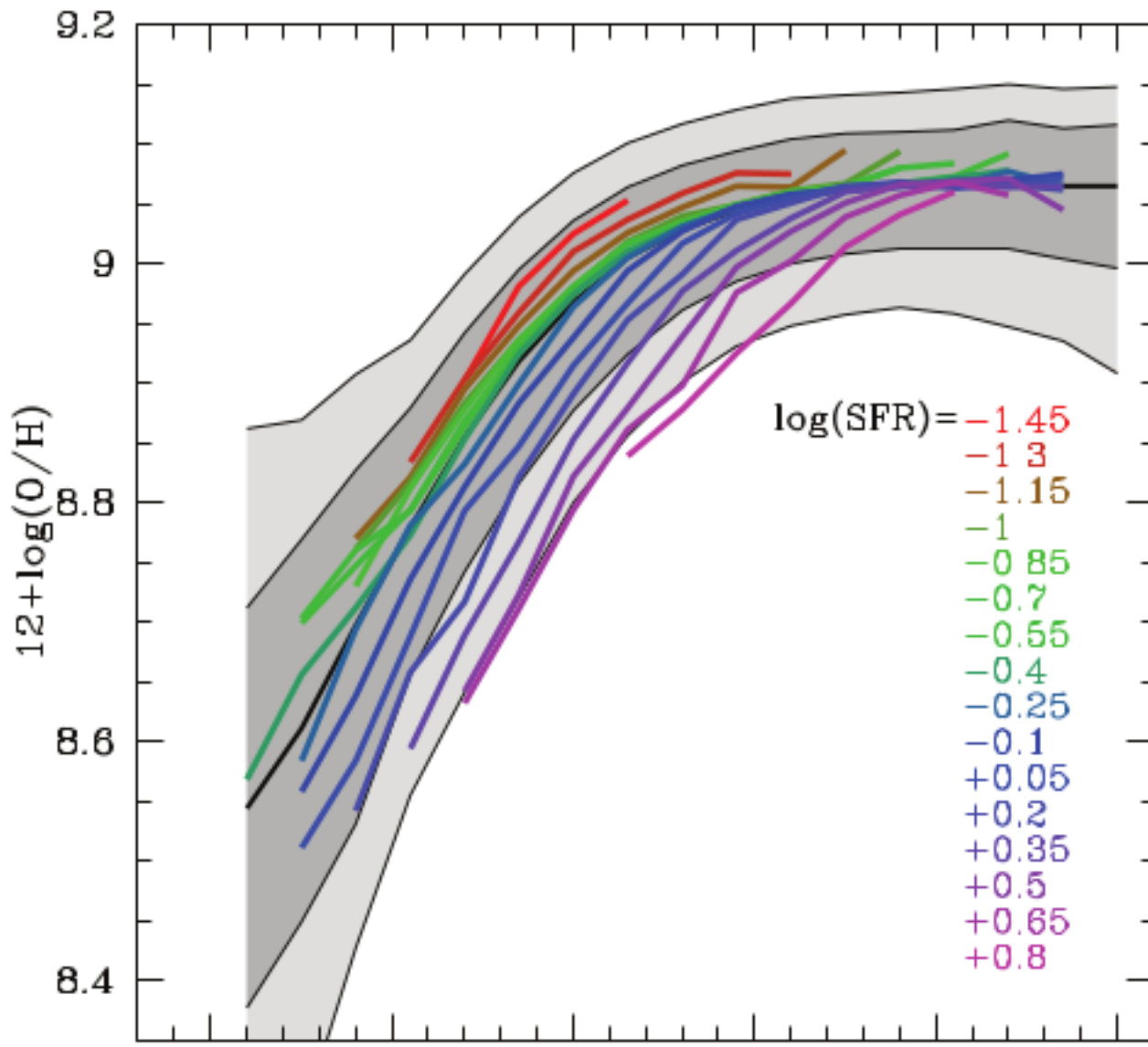
CICLO DE MASA VISTO POR CALIFA — M – Z



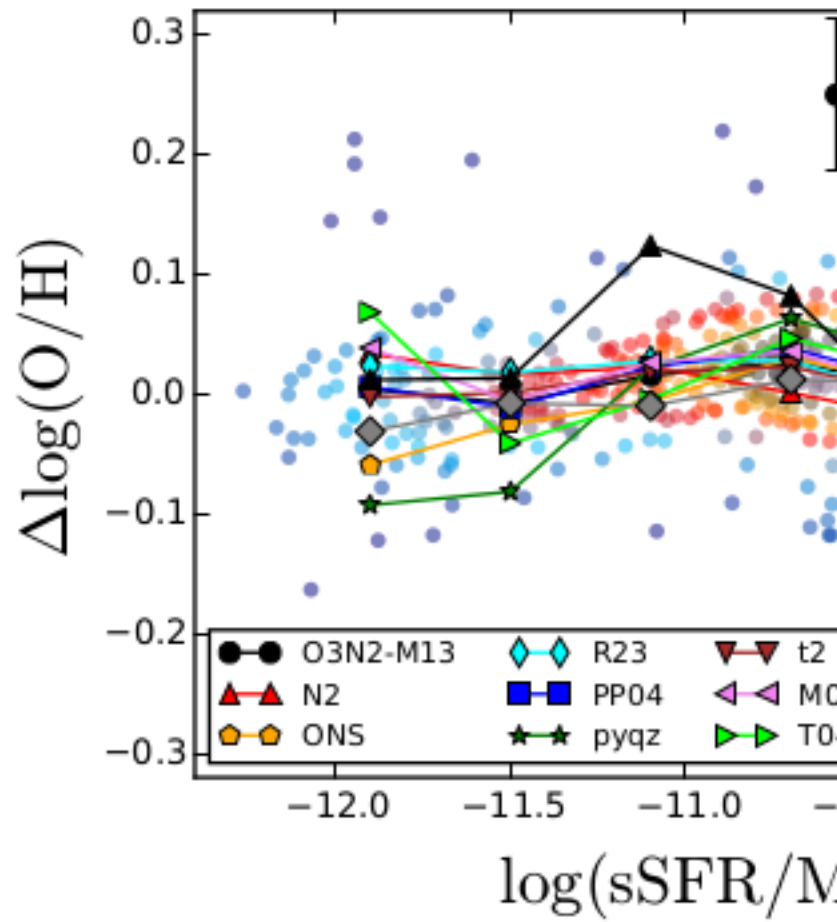
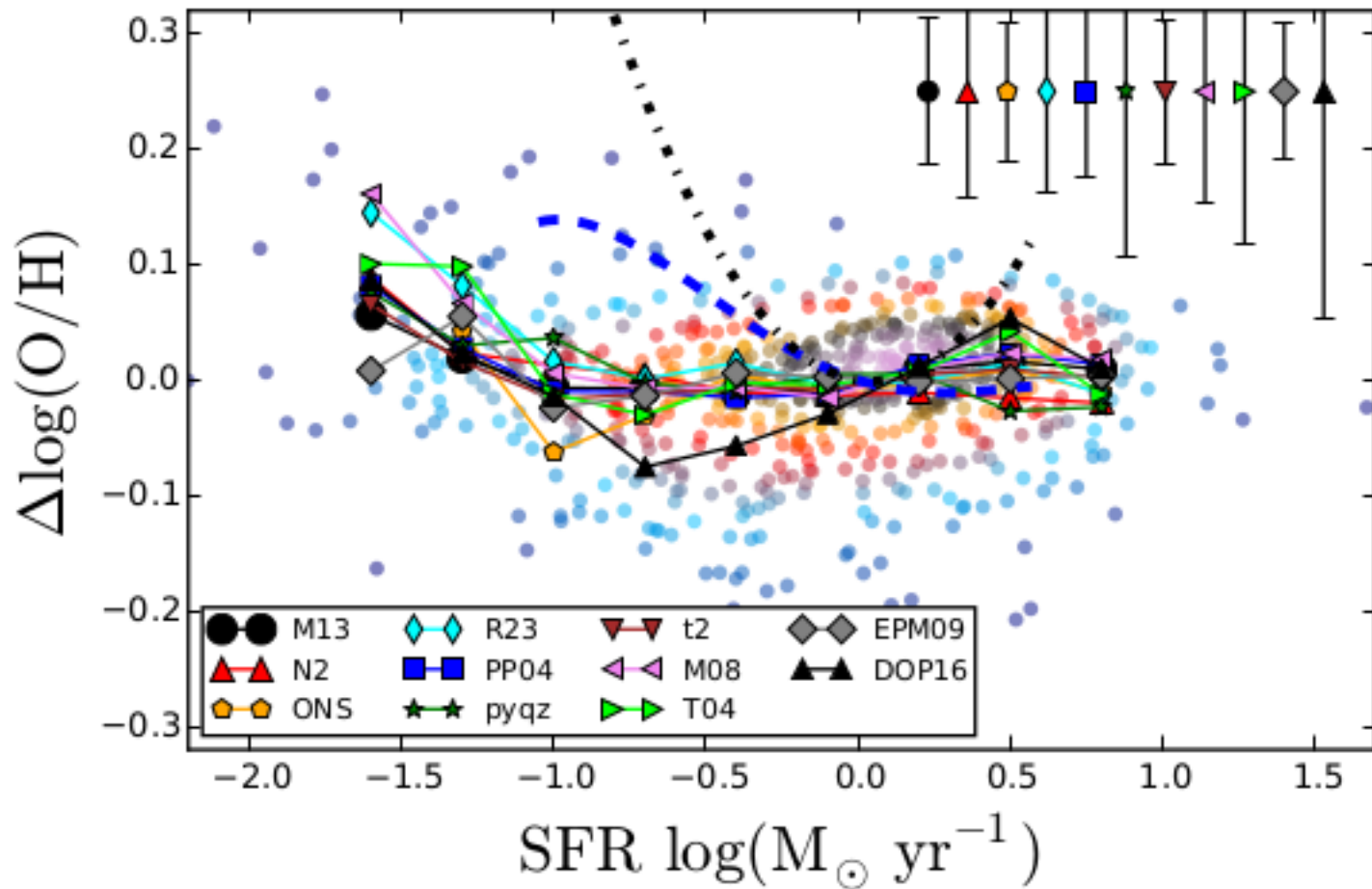
CICLO DE MASA VISTO POR CALIFA — M – Z



CICLO DE MASA VISTO POR CALIFA — M – Z – Ψ

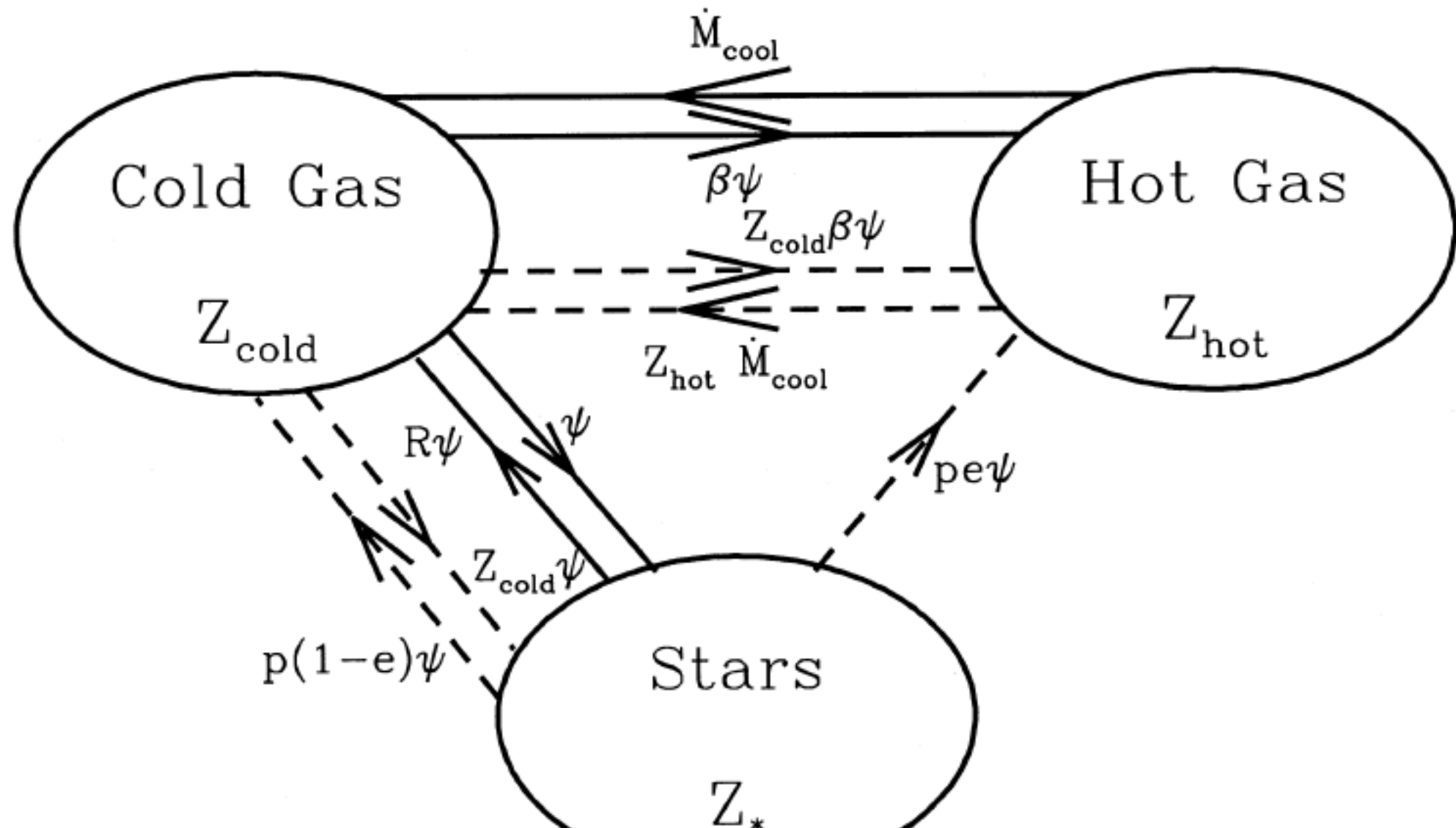


CICLO DE MASA VISTO POR CALIFA — M – Z – Ψ



CICLO DE MASA VISTO POR CALIFA — RESUMEN

UNA VISIÓN TEÓRICA DEL CICLO DE MASA — CAJA CERRADA



UNA VISIÓN TEÓRICA DEL CICLO DE MASA — CAJA CERRADA

$$\dot{M}_* = (1 - R)\psi \quad (1a)$$

$$\dot{M}_{\text{hot}} = -\dot{M}_{\text{cool}} + \beta\psi \quad (1b)$$

$$\dot{M}_{\text{cold}} = \dot{M}_{\text{cool}} - (1 - R + \beta)\psi \quad (1c)$$

$$\dot{M}_*^Z = (1 - R)Z_{\text{cold}}\psi \quad (1d)$$

$$\dot{M}_{\text{hot}}^Z = -\dot{M}_{\text{cool}}Z_{\text{hot}} + (pe + \beta Z_{\text{cold}})\psi \quad (1e)$$

$$\dot{M}_{\text{cold}}^Z = \dot{M}_{\text{cool}}Z_{\text{hot}} + [p(1 - e) - (1 + \beta - R)Z_{\text{cold}}]\psi \quad (1f)$$

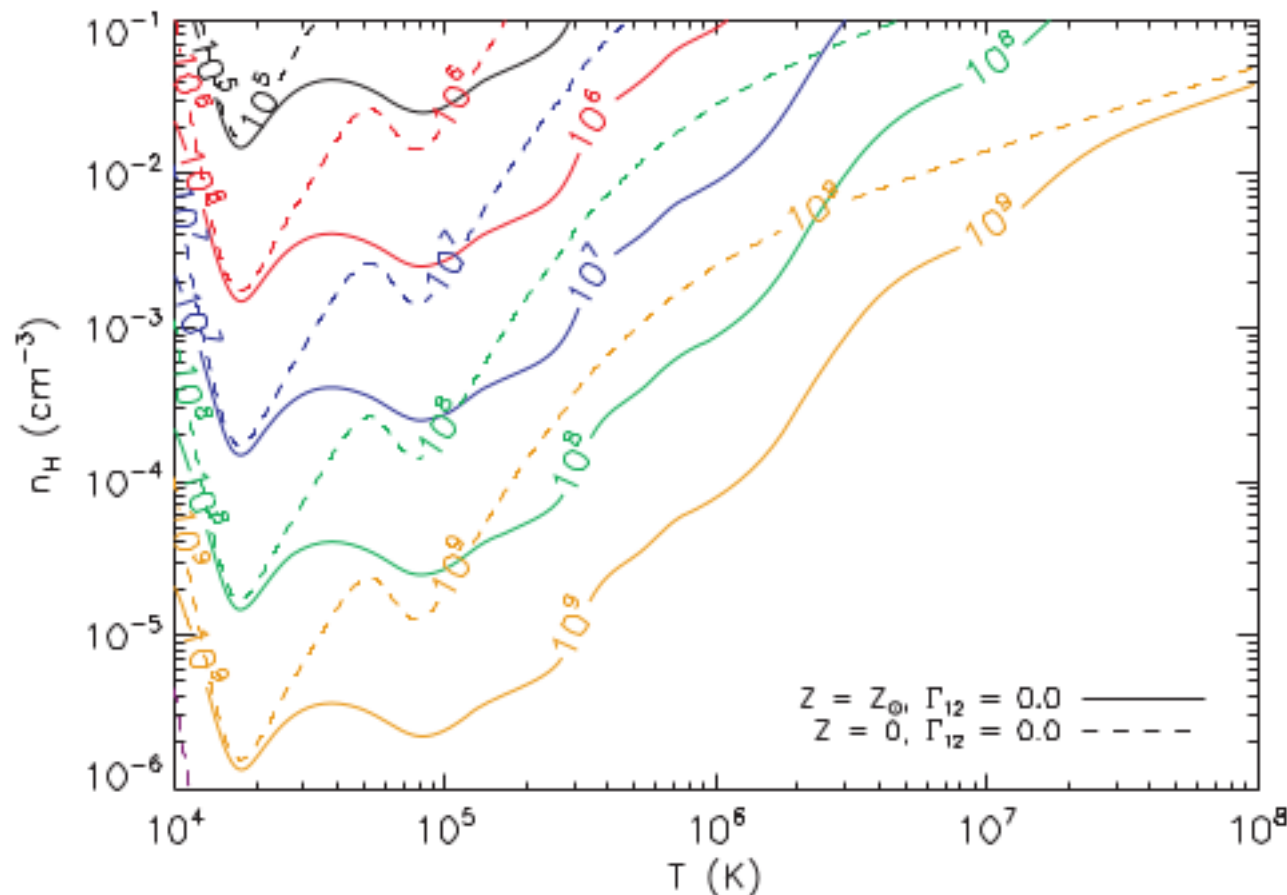
UNA VISIÓN TEÓRICA DEL CICLO DE MASA — CAJA CERRADA

$$\dot{Z}_* = (1 - R) \frac{\psi}{M_*} (Z_{\text{cold}} - Z_*) \quad (2a)$$

$$\dot{Z}_{\text{cold}} = (Z_{\text{hot}} - Z_{\text{cold}}) \frac{\dot{M}_{\text{cool}}}{M_{\text{cold}}} + p(1 - e) \frac{\psi}{M_{\text{cold}}} \quad (2b)$$

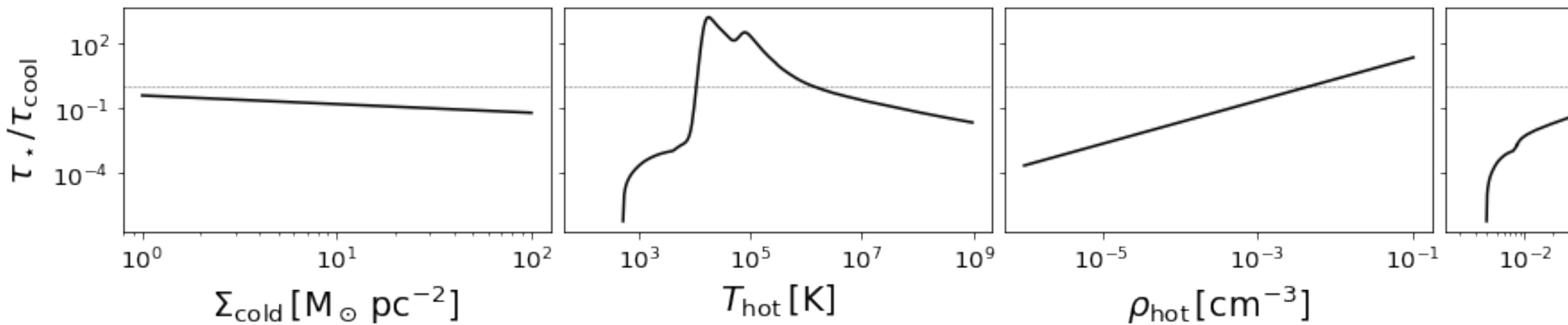
UNA VISIÓN TEÓRICA DEL CICLO DE MASA — CAJA CERRADA

$$\tau_{\text{TFE}} = (4 \pm 1) \times 10^9 \text{ años} \left[\frac{\Sigma_{\text{frio}}}{1 M_\odot \text{ pc}^{-2}} \right]$$

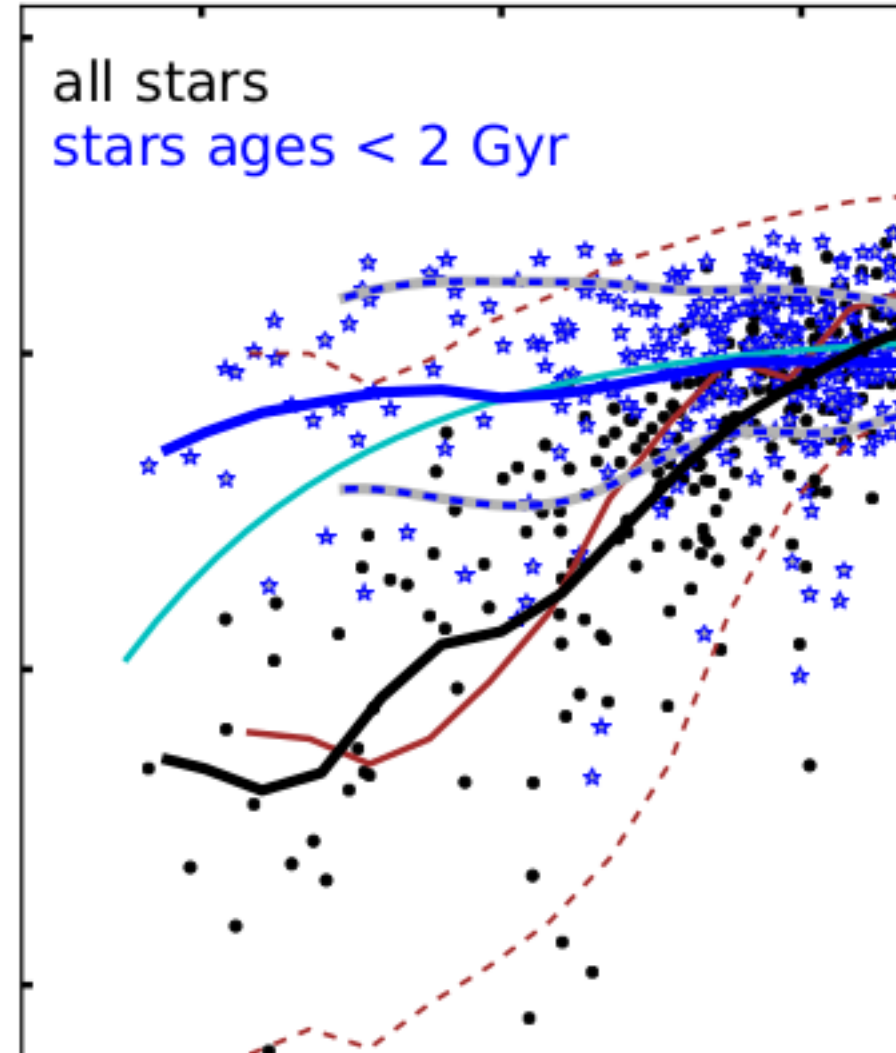
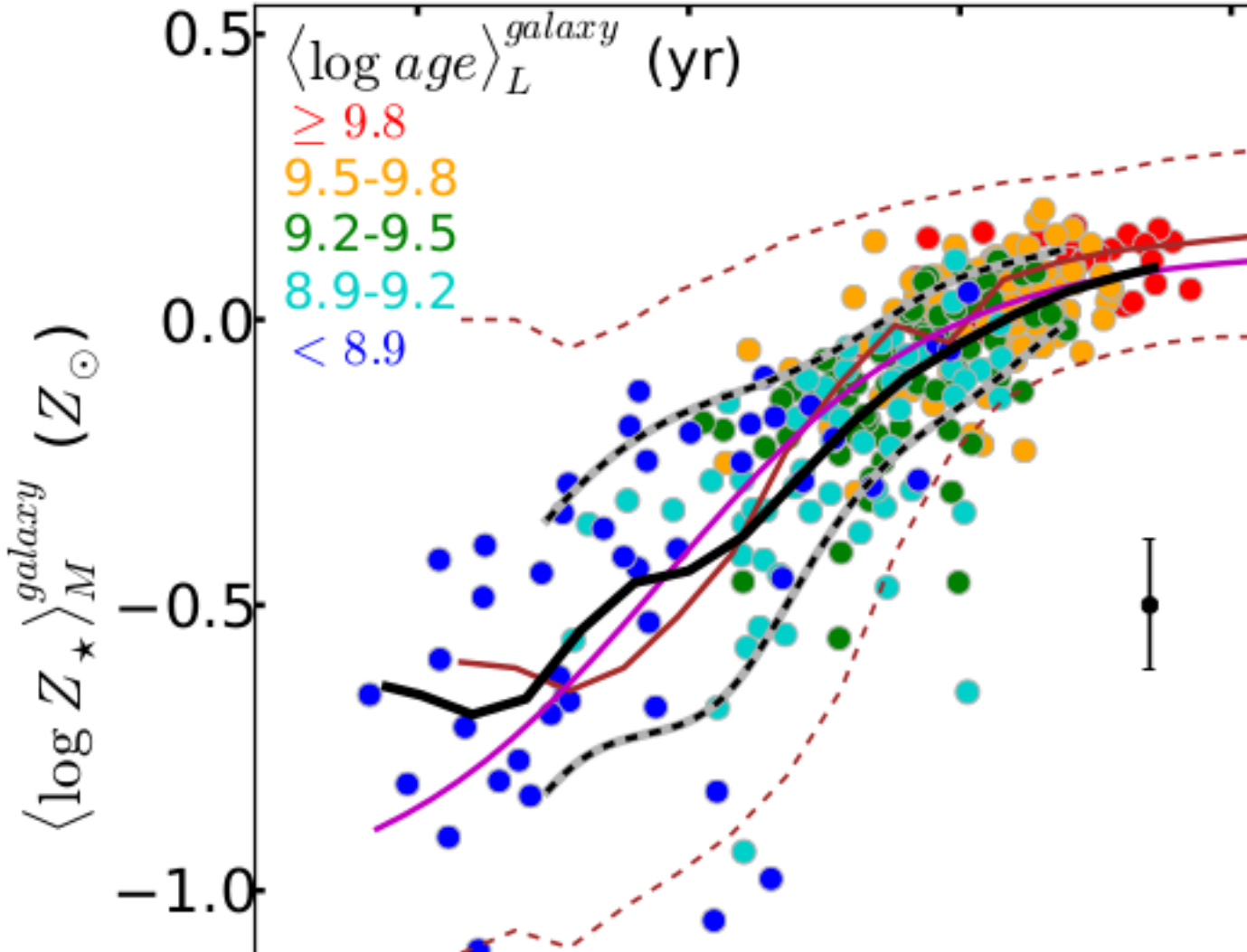


UNA VISIÓN TEÓRICA DEL CICLO DE MASA — CAJA CERRADA

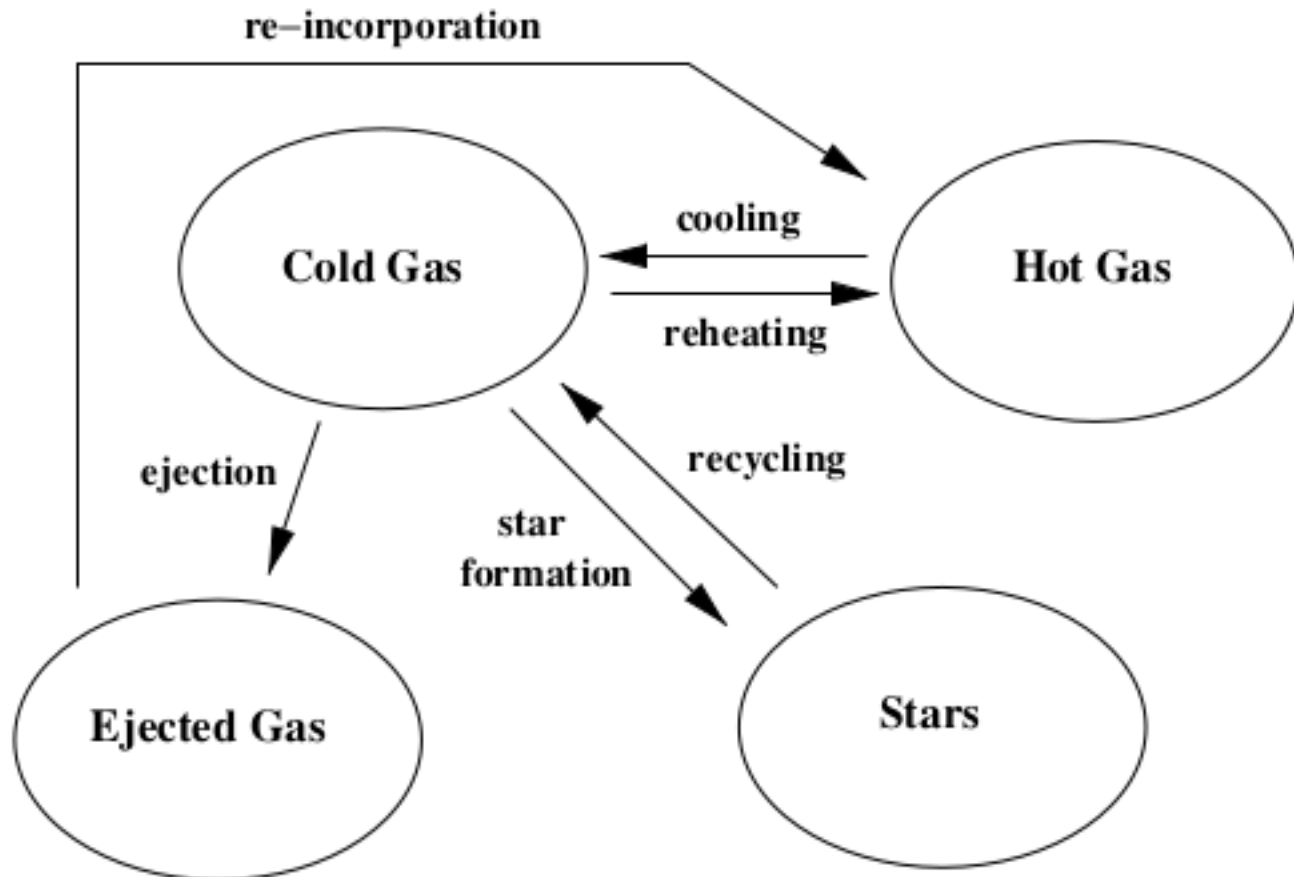
$$\frac{\tau_*}{\tau_{\text{cool}}} \approx 0,4 \left(\frac{\Sigma_{\text{cold}}}{1 \text{ M}_\odot \text{ pc}^{-2}} \right)^{-0,4} \left(\frac{10^7}{T_{\text{hot}}} \right) \left(\frac{\rho_{\text{hot}}}{10^{-3} \text{ cm}^{-3}} \right) \left(\frac{\Lambda(T_{\text{hot}}, Z_{\text{hot}})}{10^{-23} \text{ erg cm}^3 \text{ s}^{-1}} \right)$$



UNA VISIÓN TEÓRICA DEL CICLO DE MASA — CAJA CERRADA



UNA VISIÓN TEÓRICA DEL CICLO DE MASA — CAJA ABIERTA



PRÓLOGO — EXPECTATIVAS PARA EL FUTURO

ANTECEDENTES DE SONDEOS CON IFU I

El problema de adquisición de imágenes astronómicas es, en el sentido general, un problema de dos dimensiones espaciales y una dimensión espectral ($x, y; \lambda$). Desafortunadamente, debido a limitaciones de ingeniería, la mayoría de los esfuerzos que ofrecen una resolución espectral $R \sim 1000$, están limitados a una dimensión espacial, i. e. $(x; \lambda)$. El uso del formato *long-slit* (rendija) resuelve parcialmente el problema de la dimensión perdida por espectrógrafos convencionales: si la dispersión de la luz proveniente de las fuentes se hace perpendicular al largo de la rendija, es posible en principio obtener espectros de distintas regiones de un mismo objeto extendido (e. g. una galaxia en el Universo local) o de varios objetos adyacentes en su proyección en el cielo. Existen sin embargo varias limitaciones que complican la adquisición efectiva de la segunda dimensión usando este formato, todas relacionadas con el hecho de que las componentes espaciales y la espectral están correlacionadas.

Las unidades de campo integrado (IFU en inglés Vanderriest, 1980) aparecieron en escena para resolver las limitaciones de resolución espacial de los previos intentos por registrar espectros de los objetos celestes. Vanderriest presentó un primer prototipo de IFU que consistía en un arreglo de fibras ópticas con forma hexagonal capaz de resolver espacialmente objetos en un campo de unas pocas decenas de segundos de arco ($\sim 20''$) y bajo brillo superficial. Tal dispositivo permitiría estudios de objetos cercanos siempre que la resolución espectral no fuera un factor importante para su desarrollo.

A mediado de los 90s aparecieron los primeros resultados obtenidos a partir del análisis de datos de IFU como fuera concebida por Courtes (1982) (véase Bacon y col., 1995, para un resumen de los hallazgos con el dispositivo TIGER).

ANTECEDENTES DE SONDEOS CON IFU II

- Primera medida de campos de velocidad estelar en la región central de galaxias cercanas (Bacon y col., 1995).
- Prueba de que las componentes de la cruz de Einstein (2237+0305) son en realidad imágenes múltiples del mismo objeto (Fitte y Adam, 1994).
- Se logró resolver y mapear fuentes de emisión y continuo en NGC 1275 (Ferruit y Pecontal, 1994).
- etc.

Las principales limitaciones eran el campo de visión, que seguía siendo demasiado pequeño para un estudio sistemático de una fuente extendida y la resolución espectral.

En los últimos 20 años las IFU han alcanzado madurez y han permitido estudios sistemáticos de muestras completas de galaxias en el universo local, abarcando en la mayoría de los casos la totalidad de la imagen proyectada de los objetos. En buena parte de lo que resta de este seminario hablaré de los resultados más importantes que estos sondeos han permitido y en qué sentido han cambiado los paradigmas en el contexto de la formación y la evolución de las galaxias.

SONDEOS CON IFU EN LA ACTUALIDAD I

Las IFU de la actualidad (< 2012) presentan las siguientes ventajas frente a la primera generación de IFUs:

- Tienen grandes campos de visión, usualmente permitiendo abarcar la imagen proyectada de galaxias a $z \sim 0,05$
- Tienen una mejor función de respuesta que permite integrar espectros de fuentes más débiles en exposiciones cortas ~ 30 min.

. Aún así, dos principales desventajas permanecen: la limitada resolución espectral y solo una fuente por exposición puede observarse.

CARACTERÍSTICAS DE LOS DATOS I

Los datos que se obtienen viven en el espacio (x, y, λ) , por lo tanto la información que permitiría construir mapas de determinada información espectral, a una resolución espacial fija, depende del rango y de la resolución espectral. Desde el punto de vista poblacional, probablemente los estudios más atractivos tienen que ver con la dependencia ambiental de las propiedades físicas de las galaxias, i. e., cómo cambian los promedios en la edad, la composición química, las propiedades del polvo, tasa de formación estelar (TFE), como función de la densidad bariónica, por ejemplo y a su vez como cambian estas propiedades de una galaxia a otra. Por supuesto, como mostré en el seminario anterior, los resultados de sondeos con IFU han permitido el refinamiento de los modelos dinámicos de galaxias y una clasificación morfológica basada en las propiedades físicas de las galaxias.

El seminario anterior fue intencionalmente sesgado a galaxias tempranas porque la mayoría de los esfuerzos de los sondeos con IFU están también sesgados de la misma manera. Construir muestras de galaxias que permitan estudios cinemáticos sistemáticos necesariamente improndrá un sesgo hacia galaxias tempranas. Ahora mostraré los resultados de los estudios poblacionales, en los que la secuencia de Hubble se abarca en completitud. Por lo tanto los resultados que mostraré estarán claramente sesgados hacia los de CALIFA, que ya ha completado el sondeo de la muestra

Referencias I

- Vanderriest, C. (1980). “A fiber-optics dissector for spectroscopy of nebulosities around quasars and similar objects”. En: *PASP* 92, págs. 858-862.
- Courtes, G. (1982). “An Integral Field Spectrograph (IFS) for Large Telescopes”. En: *IAU Colloq. 67: Instrumentation for Astronomy with Large Optical Telescopes*. Ed. por C. M. Humphries. Vol. 92. Astrophysics and Space Science Library, pág. 123.
- Ferruit, P. y E. Pecontal (1994). “Sub-arcsecond resolution 2D spectrography of the central regions of NGC 1275 with TIGER”. En: *A&A* 288, págs. 65-76.
- Fitte, C. y G. Adam (1994). “Sub-arcsecond integral field spectroscopy of the Einstein Cross 2237+0305: Lensing and microlensing effects”. En: *A&A* 282, págs. 11-18.

Referencias II

- Worthey, G. (1994). “Comprehensive stellar population models and the disentanglement of age and metallicity effects”. En: *ApJS* 95, págs. 107-149.
- Bacon, R. y col. (1995). “3D spectrography at high spatial resolution. I. Concept and realization of the integral field spectrograph TIGER.” En: *A&AS* 113, pág. 347.
- Bell, E. F. y R. S. de Jong (2000). “The stellar populations of spiral galaxies”. En: *MNRAS* 312, págs. 497-520.
- Proctor, R. N. y A. E. Sansom (2002). “A comparison of stellar populations in galaxy spheroids across a wide range of Hubble types”. En: *MNRAS* 333, págs. 517-543.
- Terlevich, A. I. y D. A. Forbes (2002). “A catalogue and analysis of local galaxy ages and metallicities”. En: *MNRAS* 330, págs. 547-562.

Referencias III

- Tremonti, C. A. y col. (2004). “The Origin of the Mass-Metallicity Relation: Insights from 53,000 Star-forming Galaxies in the Sloan Digital Sky Survey”. En: *ApJ* 613, págs. 898-913.
- Gallazzi, A. y col. (2005). “The ages and metallicities of galaxies in the local universe”. En: *MNRAS* 362, págs. 41-58.
- Kobayashi, C., V. Springel y S. D. M. White (2007). “Simulations of Cosmic Chemical Enrichment”. En: *MNRAS* 376, págs. 1465-1479.
- Köppen, J., C. Weidner y P. Kroupa (2007). “A possible origin of the mass-metallicity relation of galaxies”. En: *MNRAS* 375, págs. 673-684.
- Eminian, C. y col. (2008). “Physical interpretation of the near-infrared colours of low-redshift galaxies”. En: *MNRAS* 384, págs. 930-942.
- Lara-López, M. A. y col. (2010). “A fundamental plane for field star-forming galaxies”. En: *A&A* 521, L53, pág. L53.

Referencias IV

- Rosales-Ortega, F. F. y col. (2012). “A New Scaling Relation for H II Regions in Spiral Galaxies: Unveiling the True Nature of the Mass-Metallicity Relation”. En: *ApJ* 756, L31, pág. L31.
- Sánchez, S. F. y col. (2012). “CALIFA, the Calar Alto Legacy Integral Field Area survey. I. Survey presentation”. En: *A&A* 538, A8, A8.
- Conroy, C. (2013). “Modeling the Panchromatic Spectral Energy Distributions of Galaxies”. En: *ARA&A* 51, págs. 393-455.
- Sánchez, S. F. y col. (2013). “Mass-metallicity relation explored with CALIFA. I. Is there a dependence on the star-formation rate?” En: *A&A* 554, A58, A58.
- Zibetti, S. y col. (2013). “Near-infrared spectroscopy of post-starburst galaxies: a limited impact of TP-AGB stars on galaxy spectral energy distributions”. En: *MNRAS* 428, págs. 1479-1497.

Referencias V

- González Delgado, R. M. y col. (2014). “Insights on the Stellar Mass-Metallicity Relation from the CALIFA Survey”. En: *ApJ* 791, L16, pág. L16.
- González Delgado, R. M. y col. (2014). “The star formation history of CALIFA galaxies: Radial structures”. En: *A&A* 562, A47, A47.
- Sorba, R. y M. Sawicki (2015). “Missing stellar mass in SED fitting: spatially unresolved photometry can underestimate galaxy masses”. En: *MNRAS* 452, págs. 235-245.
- Sánchez, S. F. y col. (2016). “CALIFA, the Calar Alto Legacy Integral Field Area survey. IV. Third public data release”. En: *A&A* 594, A36, A36.